COMUNE DI CALVIZZANO

Città Metropolitana di Napoli



Realizzazione della nuova Caserma dei Carabinieri - Edificio EX IPAB

Fase

PROGETTO ESECUTIVO

Codice Elaborato	Titolo Elaborato
All. B09	Relazione geotecnica sulle fondazioni - vano ascensore

Progettisti

IDGE
DI GIROLAMO ENGINEERING

ORDINE DEGLI ARCHITETTI PIANIFICATORI PAESAGGISTI E CONSERVATORI DELLA PROVINCIA DI ROMA
ARCHITETTO
SEZ. "A"

Responsabile del Progetto

Ing. Lorenzo Tammaro

EDIZ.	DATA	DESCRIZIONE	DISEGNATO	CONTROLLATO	APPROVATO
Rev.00	FEBBRAIO 2026	Emissione	VS	LdG	FdG
Rev.01	LUGLIO 2026	Emissione	VS	LdG	FdG

Questo documento, elaborato dalla Di Girolamo Engineering Srl, non può essere riprodotto o comunicato a terzi senza preventivo consenso scritto (legge 22-4-41,n.633- art. 2575 e segg. C.C.)

Normativa di riferimento

- Legge nr. 1086 del 05/11/1971. Norme per la disciplina delle opere in conglomerato cementizio, normale e precompresso ed a struttura metallica.
- Legge nr. 64 del 02/02/1974. Provvedimenti per le costruzioni con particolari prescrizioni per le zone sismiche.
- D.M. LL.PP. del 11/03/1988. Norme tecniche riguardanti le indagini sui terreni e sulle rocce, la stabilità dei pendii naturali e delle scarpate, i criteri generali e le prescrizioni per la progettazione, l'esecuzione e il collaudo delle opere di sostegno delle terre e delle opere di fondazione.
- D.M. LL.PP. del 14/02/1992. Norme tecniche per l'esecuzione delle opere in cemento armato normale e precompresso e per le strutture metalliche.
- D.M. 9 Gennaio 1996. Norme Tecniche per il calcolo, l'esecuzione ed il collaudo delle strutture in cemento armato normale e precompresso e per le strutture metalliche
- D.M. 16 Gennaio 1996. Norme Tecniche relative ai 'Criteri generali per la verifica di sicurezza delle costruzioni e dei carichi e sovraccarichi'
- D.M. 16 Gennaio 1996: Norme Tecniche per le costruzioni in zone sismiche
- Circolare Ministero LL.PP. 15 Ottobre 1996 N. 252 AA.GG./S.T.C. Istruzioni per l'applicazione delle Norme Tecniche di cui al D.M. 9 Gennaio 1996
- Circolare Ministero LL.PP. 10 Aprile 1997 N. 65/AA.GG. Istruzioni per l'applicazione delle Norme Tecniche per le costruzioni in zone sismiche di cui al D.M. 16 Gennaio 1996.
- Norme Tecniche per le costruzioni D.M. 17/01/2018. Aggiornamento delle "Norme tecniche per le costruzioni" di cui al D.M. 17/01/2018

Descrizione dell'opera

Il presente progetto strutturale riguarda la ristrutturazione edilizia del fabbricato ex IPAB di via Ritiro sito nel Comune di Calvizzano (NA).



La presente relazione ha come oggetto le fondazioni del vano ascensore composte da una platea in calcestruzzo armato posta ad una profondità di 1,30 metri.

Indagini geotecniche

Per definire la stratigrafia dei terreni di sedime dell'opera e per acquisire i parametri fisico-meccanici dei terreni in esame sono stati presi in considerazione dati ottenuti da una campagna geognostica nelle quale sono state eseguite le seguenti prove:

N. 1 Prova sismica superficiale HVSR;
N. 2 Prove penetrometriche dinamiche DPSH;
N. 1 prelievi di Campioni Geotecnici Indisturbati;
N. 1 set di Prove di Laboratorio Geotecnico su Campioni Indisturbati.

La relazione geologica è stata redatta dal dott. Geol. Adamo Vallifuoco e la stratigrafia, ottenuta mediante la suddetta campagna di indagini, risulta la seguente:

N°	s	G	GSat.	Ø	A	OCR	c	cu	Eed	nu	Note
	cm	kg/mc	kg/mc	°			kg/cmq	kg/cmq	kg/cmq		
1	360	1	1844	22	No	--	0.00	0.00	3E01	0.3	Strato 1
2	120	1350	1834	20	No	--	0.00	0.00	3E01	0.3	Strato 2
3	120	1618	1863	26	No	--	0.00	0.00	4E01	0.3	Strato 3
4	420	1795	1902	29	No	--	0.00	0.00	5E01	0.3	Strato 4

N° = Numero strato, s = spessore, G = peso specifico, GSat. = peso specifico saturo, OCR = grado di sovraconsolidazione, A = Addensato, c = coesione, cu = coesione non drenata, Eed = modulo edometrico, nu = coefficiente di Poisson

Modello per il calcolo del carico limite

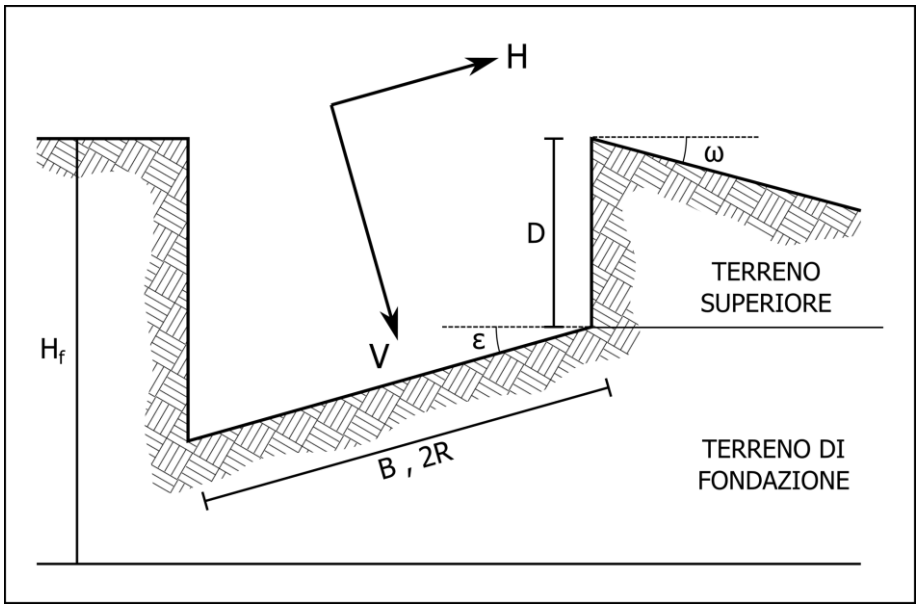
Il terreno di fondazione è considerato costituito da due strati: uno superiore ed uno inferiore al piano di posa della fondazione. La presenza della falda è presa in considerazione in base alla sua profondità dal piano campagna. Per la verifica a carico limite si adotta l'approccio 2 con una unica combinazione di carico A1+M1+R3, in cui i coefficienti parziali di sicurezza per le resistenze sono unitari ed il coefficiente di sicurezza globale è pari a 2.3 per il carico limite verticale e pari a 1.1 per il coefficiente di sicurezza per il carico limite orizzontale.
L'effetto del sisma è portato in conto considerando una la forza statica orizzontale; poiché tale forza non è né centrata né verticale è necessario considerare fattori correttivi per l'inclinazione del carico e una riduzione delle dimensioni della fondazione, in funzione dell'eccentricità. Di seguito si riporta il calcolo per le combinazioni più gravose; in calce è riportato un riepilogo per tutte le combinazioni.
Il calcolo del carico limite, per un terreno generico, è valutato secondo la formula di Terzaghi-Meyerof:

$$Q_{lim} = \left(N_q \cdot \zeta_q \cdot \xi_q \cdot \alpha_q \cdot \beta_q \cdot \psi_q \cdot z_q\right) \cdot q + \left(N_c \cdot \zeta_c \cdot \xi_c \cdot \alpha_c \cdot \beta_c \cdot \psi_c \cdot z_c\right) \cdot c + \left(N_\gamma \cdot \zeta_\gamma \cdot \xi_\gamma \cdot \alpha_\gamma \cdot \beta_\gamma \cdot \psi_\gamma \cdot z_\gamma\right) \cdot \gamma \cdot \frac{B}{2}$$

dove:

N_q, N_c, N_γ	Coefficienti di Terzaghi - Meyerof per la striscia indefinita
ζ_q, ζ_c, ζ_γ	Coefficienti correttivi di forma, funzione del rapporto B/L
ξ_q, ξ_c, ξ_γ	Coefficienti correttivi di inclinazione del carico, dipendenti da H/V
α_q, α_c, α_γ	Coefficienti correttivi di inclinazione del piano di posa
β_q, β_c, β_γ	Coefficienti correttivi di inclinazione del piano campagna
Z_q, Z_c, Z_γ	Coefficienti sismici per considerare l'effetto cinematico, considerati solo in presenza di sisma
ψ_q, ψ_c, ψ_γ	Coefficienti correttivi di punzonamento dipendenti da un indice di rigidezza del terreno
q	Carico verticale del terreno compreso tra il piano campagna e il piano di posa
c	Coesione del terreno di fondazione
γ	Peso dell'unità di volume del terreno di fondazione
B	Larghezza della fondazione

Lo schema a cui si fa riferimento è riportato di seguito.



I coefficienti di Terzaghi - Meyerof per la striscia sono stati formulati da diversi autori, in generale vi è un sostanziale consenso per Nq ed Nc, mentre N_γ diversi autori propongono formule diverse tra cui:

$$N_q = \frac{1+\sin\varphi}{1-\sin\varphi} e^{\pi \tan\varphi} \qquad N_c = \left(N_q - 1\right) cot\,\varphi$$

Meyerhof (1951)	$N_\gamma = \left(N_q - 1\right)\tan(1.4\,\varphi)$
Hansen (1970)	$N_\gamma = 1.5\left(N_q - 1\right)\tan(1.4\,\varphi)$
Vesic (1973)	$N_\gamma = 2\left(N_q + 1\right)\tan\varphi$

Con ϕ angolo di attrito del terreno.
La formula per il calcolo di N_γ prescelta è quella di **Vesic (1973)**

I valori da assumere per le caratteristiche del terreno e la geometria della fondazione sono indicati successivamente.

Le espressioni dei coefficienti correttivi sono riportate di seguito.

Coefficienti di forma

$$\zeta_q = 1 + \frac{B}{L}\tan\varphi \qquad \zeta_c = 1 + \frac{B}{L}\frac{N_q}{N_c} \qquad \zeta_\gamma = 1 - 0.4\frac{B}{L}$$

Coefficienti di inclinazione del carico

Tipo di terreno	ξ_q	ξ_c	ξ_γ
Incoerente	$\left[1 - \frac{H}{V}\right]^m$	-	$\left[1 - \frac{H}{V}\right]^{m+1}$
Coesivo	1	$\xi_q - \frac{1 - m\,H}{N_c B\,L\,c}$	-
Dotato di attrito e coesione	$\left[1 - \frac{H}{V + B\,L\,c\cot\varphi}\right]^m$	$\xi_q - \frac{1-\xi_q}{N_c\tan\varphi}$	$\left[1 - \frac{H}{V + B\,L\,c\cot\varphi}\right]^{m+1}$

essendo

$$m = \frac{2 + B/L}{1 + B/L}$$

Coefficienti correttivi di inclinazione del piano di posa

$$\alpha_q = (1 - \epsilon \tan\varphi)^2 \qquad \alpha_c = \alpha_q - \frac{1-\alpha_q}{N_c \tan\varphi} \qquad \alpha_\gamma = \alpha_q$$

con

$$\epsilon < \frac{\pi}{4}$$

Coefficienti correttivi di inclinazione del piano campagna

$$\beta_q = (1 - \epsilon \tan\omega)^2 \cos\omega \qquad \beta_c = \beta_q - \frac{1-\beta_q}{N_c \tan\varphi} \qquad \beta_\gamma = \frac{\beta_q}{\cos\omega}$$

con

$$\omega < \frac{\pi}{4} \qquad \omega < \varphi$$

Coefficienti di punzonamento

Detto I_r l'indice di rigidezza del terreno (secondo la teoria di Vesic dipendente dal modulo tangenziale $G=0.5 \cdot E/(1+\nu)$ del terreno, dalla coesione c, dalla tensione effettiva alla profondità B/2 sotto il piano di posa e dall'angolo di attrito del terreno di fondazione) ed $I_{r,crit}$ l'indice di rigidezza critico (dipendente dall' angolo di attrito del terreno e dal rapporto B/L), i coefficienti di punzonamento sono uguali alla unità quando $I_r >= I_{r,crit}$, mentre sono minori dell' unità quando $I_r < I_{r,crit}$.

Tipo di terreno	Dotato di attrito e coesione	Coesivo
ψ_q	$\exp\left[\left(0.6\frac{B}{L} - 4.4\right)\tan\varphi + \frac{3.07 \sin\varphi \log(2\,I_r)}{1+\sin\varphi}\right]$	1
ψ_c	$\psi_q - \frac{1-\psi_q}{N_c \tan\varphi}$	$0.32 + 0.12\frac{B}{L} + 0.6 \log I_r$
ψ_γ	ψ_q	1

Coefficienti sismici

$$Z = 1 \qquad Z_c = 1 \qquad Z_\gamma = \left(1 - \frac{kh}{\tan\varphi}\right)^{0.45}$$

con

$$kh = \beta \frac{a_{max}}{g}$$

Oltre a queste correzioni un'altra deriva dall'eccentricità del carico e consiste nel ridurre le dimensioni della fondazione in modo che il carico risulti centrato rispetto alla fondazione ridotta; dette e_b ed e_l le eccentrità del carico nella direzione di B ed L, il carico limite si calcola per una fondazione di dimensioni ridotte $B' = B - 2e_b$ e $L' = L - 2e_l$.

Altra correzione deriva dalla presenza della falda inserendo i pesi del terreno immerso nel primo e terzo termine dell'espressione del carico limite, in particolare, detta H_f la profondità della falda e D la profondità del piano di posa, si assume che quando:

$H_f \leq D$	si valuta la pressione effettiva sul piano di posa considerando che parte del terreno superiore è immerso, mentre nel terzo termine si userà il peso immerso;
$D < H_f \leq D+B$	il peso del terreno del terzo termine si interpola tra i valori immerso e secco secondo la formula: $\gamma^* = \gamma'' + (\gamma - \gamma'')\ D/B$;
$D+B < H_f$	la falda è trascurata.

Il calcolo del carico limite sarà eseguito considerando i valori effettivi (c',ϕ') sia sopra che sotto la falda, per il peso del terreno si adottano le indicazioni in presenza falda.

Modello terreno per il calcolo dei cedimenti per terreno incoerente

Il terreno è modellato come sequenza di strati di tipo incoerente (terreni ad elevata permeabilità). Per i terreni incoerenti non è possibile prelevare campioni intatti; per la valutazione dei parametri meccanici occorre riferirsi a prove in sito quali CPT ed SPT e quindi far uso di correlazioni empiriche per la loro valutazione. Per tali terreni, quindi, i metodi per la valutazione dei cedimenti sono empirici o semi-empirici.

Simbologia terreno incoerente: Metodo di Burland e Burbidge

H Spessore dello strato
D_f Profondità della fondazione rispetto allo scavo del cassone della struttura
γ Peso specifico del terreno dello strato
γ_{Sat} Peso specifico del terreno saturo dello strato
N_{SPT} Numero di colpi Standard Penetration Test
F.Fine Indica se la frazione fina è rilevante, quando lo strato si trova sotto falda il numero di colpi deve essere corretto

Il cedimento é calcolato con il metodo di Burland e Burbidge, in base a prove SPT dato dalla relazione:

$$W = C_1 C_2 C_3 \left[\left(q - \frac{2}{3}\sigma'_{v0}\right) B^{0.7} I_c\right]$$

dove q, σ'_{v0} sono espressi in kPa, B in metri e W in millimetri.
Ic è un parametro di deformabilità dato da:

$$I_c = \frac{1.706}{N_{med}{}^{0.4}}$$

Ic è espresso in funzione del valore medio N_{med} di N_{SPT} nell'ambito della profondità Z se i valori di N_{SPT} crescono o sono costanti con la profondità.
Invece se i valori di N_{SPT} decrescono con la profondità, N_{med} è calcolato nell'ambito della profondità 2B. Ai valori di N_{SPT} si applica la correzione di Terzaghi $N'=15+0.5*(N_{SPT}-15)$ solo se $N_{SPT}>15$

C_1 coefficiente di forma $C_1=(1.25*L/B)^2/(0.25+L/B)^2$
C_2 coefficiente di profondità espresso in funzione della quota di influenza della fondazione Z, dalla profondità H dello strato deformabile, se questo non è presente si assume H=2 B, questo coefficiente si applica solo quando H<Z
C_3 coefficiente per le deformazioni differite $C_3=1+R_3+R_2\log_{10}(t/3)$ con:
R_3 = 0.3 se il carico è statico 0.7 se ciclico
R_2 = 0.2 se il carico è statico 0.8 se ciclico
t > 3 anni

Di seguito si riporta la profondità di influenza della fondazione in funzione di B che gli A.A. propongono:

B	m	2	3	5	10	30	50	100
Z	m	1.63	2.19	3.24	5.56	13	19.86	34

Risultati dell'analisi: Carico limite

Simbologia carico limite fondazione rettangolare:

B Base
L Lunghezza
eb Eccentricità secondo B

el Eccentricità secondo L
D Profondità del piano di posa
Fv Componente ortogonale dell'azione sulla fondazione
Fh Componente tangenziale dell'azione sulla fondazione
ε Inclinazione del piano di posa
ω Inclinazione del piano campagna
ϕ Angolo di attrito del terreno di fondazione
c Coesione del terreno di fondazione
G Modulo tangenziale del terreno di fondazione
γ_1 Peso specifico terreno superiore
γ Peso specifico terreno di fondazione
γ_{1Sat} Peso specifico terreno saturo superiore
γ_{Sat} Peso specifico terreno saturo di fondazione
H_f Profondità della falda
W_0 Peso specifico acqua

Combinazioni di carico
Scenario : Set_NT_SLV_SLD_A2_STR/GEO_2018
Combinazione n° 2: AD QVSolai
Tipo: STR+GEO
Spettro: n.a.
Fattore sisma: n.a
Angolo ingresso sisma [°]: n.a.
Kmod: 0.90

Condizione di carico	Fattore	Attiva	Massa	F.Massa
Peso Proprio	1.3	Si	n.a.	n.a.
QP Solai	1.3	Si	n.a.	n.a.
QFissi Solai	1.5	Si	n.a.	n.a.
QV Solai	1.5	Si	n.a.	n.a.
QV SolaiPsi0	1	No	n.a.	n.a.
QV SolaiPsi1	1	No	n.a.	n.a.
QV SolaiPsi2	1	No	n.a.	n.a.
Tamponamento	1.5	Si	n.a.	n.a.
Neve	0.75	Si	n.a.	n.a.
Vento X	1	No	n.a.	n.a.
Vento Y	0.9	Si	n.a.	n.a.
Carichi termici	0.9	Si	n.a.	n.a.

Combinazione n° 3: AD QVSolai
Tipo: STR+GEO
Spettro: n.a.
Fattore sisma: n.a
Angolo ingresso sisma [°]: n.a.
Kmod: 0.90

Condizione di carico	Fattore	Attiva	Massa	F.Massa
Peso Proprio	1.3	Si	n.a.	n.a.
QP Solai	1.3	Si	n.a.	n.a.
QFissi Solai	1.5	Si	n.a.	n.a.
QV Solai	1.5	Si	n.a.	n.a.
QV SolaiPsi0	1	No	n.a.	n.a.
QV SolaiPsi1	1	No	n.a.	n.a.
QV SolaiPsi2	1	No	n.a.	n.a.
Tamponamento	1.5	Si	n.a.	n.a.
Neve	0.75	Si	n.a.	n.a.
Vento X	0.9	Si	n.a.	n.a.
Vento Y	1	No	n.a.	n.a.
Carichi termici	0.9	Si	n.a.	n.a.

Combinazione n° 4: AD Neve
Tipo: STR+GEO

Spettro: n.a.
Fattore sisma: n.a
Angolo ingresso sisma [°]: n.a.
Kmod: 0.80

Condizione di carico	Fattore	Attiva	Massa	F.Massa
Peso Proprio	1.3	Si	n.a.	n.a.
QP Solai	1.3	Si	n.a.	n.a.
QFissi Solai	1.5	Si	n.a.	n.a.
QV Solai	1	No	n.a.	n.a.
QV SolaiPsi0	1.5	Si	n.a.	n.a.
QV SolaiPsi1	1	No	n.a.	n.a.
QV SolaiPsi2	1	No	n.a.	n.a.
Tamponamento	1.5	Si	n.a.	n.a.
Neve	1.5	Si	n.a.	n.a.
Vento X	1	No	n.a.	n.a.
Vento Y	0.9	Si	n.a.	n.a.
Carichi termici	0.9	Si	n.a.	n.a.

Combinazione n° 5: AD VentoX
Tipo: STR+GEO
Spettro: n.a.
Fattore sisma: n.a
Angolo ingresso sisma [°]: n.a.
Kmod: 0.90

Condizione di carico	Fattore	Attiva	Massa	F.Massa
Peso Proprio	1.3	Si	n.a.	n.a.
QP Solai	1.3	Si	n.a.	n.a.
QFissi Solai	1.5	Si	n.a.	n.a.
QV Solai	1	No	n.a.	n.a.
QV SolaiPsi0	1.5	Si	n.a.	n.a.
QV SolaiPsi1	1	No	n.a.	n.a.
QV SolaiPsi2	1	No	n.a.	n.a.
Tamponamento	1.5	Si	n.a.	n.a.
Neve	0.75	Si	n.a.	n.a.
Vento X	1.5	Si	n.a.	n.a.
Vento Y	1	No	n.a.	n.a.
Carichi termici	0.9	Si	n.a.	n.a.

Combinazione n° 6: AD VentoY
Tipo: STR+GEO
Spettro: n.a.
Fattore sisma: n.a
Angolo ingresso sisma [°]: n.a.
Kmod: 0.90

Condizione di carico	Fattore	Attiva	Massa	F.Massa
Peso Proprio	1.3	Si	n.a.	n.a.
QP Solai	1.3	Si	n.a.	n.a.
QFissi Solai	1.5	Si	n.a.	n.a.
QV Solai	1	No	n.a.	n.a.
QV SolaiPsi0	1.5	Si	n.a.	n.a.
QV SolaiPsi1	1	No	n.a.	n.a.
QV SolaiPsi2	1	No	n.a.	n.a.
Tamponamento	1.5	Si	n.a.	n.a.
Neve	0.75	Si	n.a.	n.a.
Vento X	1	No	n.a.	n.a.
Vento Y	1.5	Si	n.a.	n.a.
Carichi termici	0.9	Si	n.a.	n.a.

Combinazione n° 7: AD Termici

Tipo: STR+GEO
Spettro: n.a.
Fattore sisma: n.a
Angolo ingresso sisma [°]: n.a.
Kmod: n.a.

Condizione di carico	Fattore	Attiva	Massa	F.Massa
Peso Proprio	1.3	Si	n.a.	n.a.
QP Solai	1.3	Si	n.a.	n.a.
QFissi Solai	1.5	Si	n.a.	n.a.
QV Solai	1	No	n.a.	n.a.
QV SolaiPsi0	1.5	Si	n.a.	n.a.
QV SolaiPsi1	1	No	n.a.	n.a.
QV SolaiPsi2	1	No	n.a.	n.a.
Tamponamento	1.5	Si	n.a.	n.a.
Neve	0.75	Si	n.a.	n.a.
Vento X	1	No	n.a.	n.a.
Vento Y	0.9	Si	n.a.	n.a.
Carichi termici	1.5	Si	n.a.	n.a.

Combinazione n° 8: SISMAX_SLV
Tipo: Modale STR+GEO
Spettro: SpettroNT_ 2018
Fattore sisma: 1.00
Angolo ingresso sisma [°]: 0
Kmod: 1.00

Condizione di carico	Fattore	Attiva	Massa	F.Massa
Peso Proprio	1	Si	Si	1
QP Solai	1	Si	Si	1
QFissi Solai	1	Si	Si	1
QV Solai	1	No	No	1
QV SolaiPsi0	1	No	No	1
QV SolaiPsi1	1	No	No	1
QV SolaiPsi2	1	Si	Si	1
Tamponamento	1	Si	Si	1
Neve	1	No	No	1
Vento X	1	No	No	1
Vento Y	1	No	No	1
Carichi termici	1	No	No	1

Combinazione n° 9: SISMAY_SLV
Tipo: Modale STR+GEO
Spettro: SpettroNT_ 2018
Fattore sisma: 1.00
Angolo ingresso sisma [°]: 0
Kmod: 1.00

Condizione di carico	Fattore	Attiva	Massa	F.Massa
Peso Proprio	1	Si	Si	1
QP Solai	1	Si	Si	1
QFissi Solai	1	Si	Si	1
QV Solai	1	No	No	1
QV SolaiPsi0	1	No	No	1
QV SolaiPsi1	1	No	No	1
QV SolaiPsi2	1	Si	Si	1
Tamponamento	1	Si	Si	1
Neve	1	No	No	1
Vento X	1	No	No	1
Vento Y	1	No	No	1
Carichi termici	1	No	No	1

Platea 1-2

Geometria e terreno
La fondazione è rettangolare, la falda è assente.

Geometria fondazione

Base B	Lunghezza L	Eccentricità eb	Eccentricità el	Forza Fv	Forza Fh
m	m	m	m	daN	daN
1.79	2.20	0.00	0.38	9692	706

Parametri geotecnici

D	ε	ω	ϕ	c	G	γ_1	γ
m	°	°	°	daN/cm2	daN/cm2	t/m3	t/m3
1.30	0.00	0.00	22.42	0.00	79.15	1.45	1.60

Carico limite
La fondazione data è equivalente a una fondazione rettangolare di dimensioni B=1.78 m ed L=1.44 m. Si riportano di seguito i coefficienti correttivi.

N_q	N_c	N_γ
8.162	17.360	7.560
α_q	α_c	α_γ
1.000	1.000	1.000
β_q	β_c	β_γ
1.000	1.000	1.000
ξ_q	ξ_c	ξ_γ
0.896	0.882	0.831
ψ_q	ψ_c	ψ_γ
1.000	1.000	1.000
ζ_q	ζ_c	ζ_γ
1.332	1.378	0.678
zq	zc	zg
1.000	1.000	1.000
N'_q	N'_c	N'_γ
9.743	21.097	4.262

Di seguito si riporta una sintesi dei valori utilizzati per effettuare la verifica della fondazione.

Indice di rigidezza critico Ir_{crit}	30.020
Indice di rigidezza Ir	578.840
Azione verticale sollecitante V	9692 daN
Azione orizzontale sollecitante H	706 daN
Eccentricità lungo B eb	0.00 m
Eccentricità lungo L el	0.38 m
Carico limite verticale di calcolo Q_{lim}	2.45 daN/cm2
Carico limite verticale di progetto Qd	1.06 daN/cm2
Coefficiente di sicurezza γ_v	2.300
Carico limite orizzontale di calcolo H_{lim}	3999 daN
Carico limite orizzontale di progetto Hd	3635 daN
Coefficiente di sicurezza γ_h	1.100
V=9692 daN ≤ Vd=27248 daN	**VERIFICATO**
H=706 daN ≤ Hd=3635 daN	**VERIFICATO**

Platea 1-3

Geometria e terreno
La fondazione è rettangolare, la falda è assente.

Geometria fondazione

Base B	Lunghezza L	Eccentricità eb	Eccentricità el	Forza Fv	Forza Fh
m	m	m	m	daN	daN
1.79	2.20	0.38	0.00	9692	706

Parametri geotecnici

D	ε	ω	ϕ	c	G	γ_1	γ
m	°	°	°	daN/cm2	daN/cm2	t/m3	t/m3
1.30	0.00	0.00	22.42	0.00	79.15	1.45	1.60

Carico limite

La fondazione data è equivalente a una fondazione rettangolare di dimensioni B=1.02 m ed L=2.20 m. Si riportano di seguito i coefficienti correttivi.

N_q	N_c	N_γ
8.162	17.360	7.560
α_q	α_c	α_γ
1.000	1.000	1.000
β_q	β_c	β_γ
1.000	1.000	1.000
ξ_q	ξ_c	ξ_γ
0.880	0.864	0.816
ψ_q	ψ_c	ψ_γ
1.000	1.000	1.000
ζ_q	ζ_c	ζ_γ
1.191	1.218	0.815
zq	zc	zg
1.000	1.000	1.000
N'_q	N'_c	N'_γ
8.559	18.257	5.028

Di seguito si riporta una sintesi dei valori utilizzati per effettuare la verifica della fondazione.

Indice di rigidezza critico Ir_{crit}	50.746
Indice di rigidezza Ir	710.206
Azione verticale sollecitante V	9692 daN
Azione orizzontale sollecitante H	706 daN
Eccentricità lungo B eb	0.38 m
Eccentricità lungo L el	0.00 m
Carico limite verticale di calcolo Q_{lim}	2.02 daN/cm2
Carico limite verticale di progetto Qd	0.88 daN/cm2
Coefficiente di sicurezza γ_v	2.300
Carico limite orizzontale di calcolo H_{lim}	3999 daN
Carico limite orizzontale di progetto Hd	3635 daN
Coefficiente di sicurezza γ_h	1.100
V=9692 daN $\leq$ Vd=19722 daN	**VERIFICATO**
H=706 daN $\leq$ Hd=3635 daN	**VERIFICATO**

Platea 1-4

Geometria e terreno

La fondazione è rettangolare, la falda è assente.

Geometria fondazione

Base B	Lunghezza L	Eccentricità eb	Eccentricità el	Forza Fv	Forza Fh
m	m	m	m	daN	daN
1.79	2.20	0.00	0.38	9692	706

Parametri geotecnici

D	ε	ω	ϕ	c	G	γ_1	γ
m	°	°	°	daN/cm2	daN/cm2	t/m3	t/m3
1.30	0.00	0.00	22.42	0.00	79.15	1.45	1.60

Carico limite

La fondazione data è equivalente a una fondazione rettangolare di dimensioni B=1.78 m ed L=1.44 m. Si riportano di seguito i coefficienti correttivi.

N_q	N_c	N_γ
8.162	17.360	7.560
α_q	α_c	α_γ
1.000	1.000	1.000
β_q	β_c	β_γ
1.000	1.000	1.000
ξ_q	ξ_c	ξ_γ
0.896	0.882	0.831
ψ_q	ψ_c	ψ_γ
1.000	1.000	1.000
ζ_q	ζ_c	ζ_γ
1.332	1.378	0.678
zq	zc	zg
1.000	1.000	1.000
N'_q	N'_c	N'_γ
9.743	21.097	4.262

Di seguito si riporta una sintesi dei valori utilizzati per effettuare la verifica della fondazione.

Indice di rigidezza critico Ir_{crit}	30.020
Indice di rigidezza Ir	578.840
Azione verticale sollecitante V	9692 daN
Azione orizzontale sollecitante H	706 daN
Eccentricità lungo B eb	0.00 m
Eccentricità lungo L el	0.38 m
Carico limite verticale di calcolo Q_{lim}	2.45 daN/cm2
Carico limite verticale di progetto Qd	1.06 daN/cm2
Coefficiente di sicurezza γ_v	2.300
Carico limite orizzontale di calcolo H_{lim}	3999 daN
Carico limite orizzontale di progetto Hd	3635 daN
Coefficiente di sicurezza γ_h	1.100
V=9692 daN ≤ Vd=27248 daN	**VERIFICATO**
H=706 daN ≤ Hd=3635 daN	**VERIFICATO**

Platea 1-5

Geometria e terreno

La fondazione è rettangolare, la falda è assente.

Geometria fondazione

Base B	Lunghezza L	Eccentricità eb	Eccentricità el	Forza Fv	Forza Fh
m	m	m	m	daN	daN
1.79	2.20	0.64	0.00	9692	1177

Parametri geotecnici

D	ε	ω	ϕ	c	G	γ_1	γ
m	°	°	°	daN/cm2	daN/cm2	t/m3	t/m3
1.30	0.00	0.00	22.42	0.00	79.15	1.45	1.60

Carico limite
La fondazione data è equivalente a una fondazione rettangolare di dimensioni B=0.51 m ed L=2.20 m. Si riportano di seguito i coefficienti correttivi.

N_q	N_c	N_γ
8.162	17.360	7.560
α_q	α_c	α_γ
1.000	1.000	1.000
β_q	β_c	β_γ
1.000	1.000	1.000
ξ_q	ξ_c	ξ_γ
0.791	0.762	0.695
ψ_q	ψ_c	ψ_γ
1.000	1.000	1.000
ζ_q	ζ_c	ζ_γ
1.095	1.109	0.908
zq	zc	zg
1.000	1.000	1.000
N'_q	N'_c	N'_γ
7.069	14.655	4.767

Di seguito si riporta una sintesi dei valori utilizzati per effettuare la verifica della fondazione.

Indice di rigidezza critico Ir_{crit}	59.322
Indice di rigidezza Ir	836.820
Azione verticale sollecitante V	9692 daN
Azione orizzontale sollecitante H	1177 daN
Eccentricità lungo B eb	0.64 m
Eccentricità lungo L el	0.00 m
Carico limite verticale di calcolo Q_{lim}	1.53 daN/cm2
Carico limite verticale di progetto Qd	0.96 daN/cm2
Coefficiente di sicurezza γ_v	2.300
Carico limite orizzontale di calcolo H_{lim}	3999 daN
Carico limite orizzontale di progetto Hd	3635 daN
Coefficiente di sicurezza γ_h	1.100
V=9692 daN > Vd=15815 daN	**VERIFICATO**
H=1177 daN ≤ Hd=3635 daN	**VERIFICATO**

Platea 1-6

Geometria e terreno
La fondazione è rettangolare, la falda è assente.

Geometria fondazione

Base B	Lunghezza L	Eccentricità eb	Eccentricità el	Forza Fv	Forza Fh
m	m	m	m	daN	daN
1.79	2.20	0.00	0.64	9692	1177

Parametri geotecnici

D	ε	ω	ϕ	c	G	γ_1	γ
m	°	°	°	daN/cm2	daN/cm2	t/m3	t/m3
1.30	0.00	0.00	22.42	0.00	79.15	1.45	1.60

Carico limite
La fondazione data è equivalente a una fondazione rettangolare di dimensioni B=1.78 m ed L=0.93 m. Si riportano di seguito i coefficienti correttivi.

N_q	N_c	N_γ
8.162	17.360	7.560
α_q	α_c	α_γ
1.000	1.000	1.000
β_q	β_c	β_γ
1.000	1.000	1.000
ξ_q	ξ_c	ξ_γ
0.841	0.818	0.738
ψ_q	ψ_c	ψ_γ
1.000	1.000	1.000
ζ_q	ζ_c	ζ_γ
1.214	1.244	0.793
zq	zc	zg
1.000	1.000	1.000
N'_q	N'_c	N'_γ
8.328	17.666	4.425

Di seguito si riporta una sintesi dei valori utilizzati per effettuare la verifica della fondazione.

Indice di rigidezza critico Ir_{crit}	18.933
Indice di rigidezza Ir	578.845
Azione verticale sollecitante V	9692 daN
Azione orizzontale sollecitante H	1177 daN
Eccentricità lungo B eb	0.00 m
Eccentricità lungo L el	0.64 m
Carico limite verticale di calcolo Q_{lim}	2.20 daN/cm2
Carico limite verticale di progetto Qd	0.96 daN/cm2
Coefficiente di sicurezza γ_v	2.300
Carico limite orizzontale di calcolo H_{lim}	3999 daN
Carico limite orizzontale di progetto Hd	3635 daN
Coefficiente di sicurezza γ_h	1.100
V=9692 daN ≤ Vd=15815 daN	**VERIFICATO**
H=1177 daN ≤ Hd=3635 daN	**VERIFICATO**

Platea 1-7

Geometria e terreno
La fondazione è rettangolare, la falda è assente.

Geometria fondazione

Base B	Lunghezza L	Eccentricità eb	Eccentricità el	Forza Fv	Forza Fh
m	m	m	m	daN	daN
1.79	2.20	0.00	0.38	9692	706

Parametri geotecnici

D	ε	ω	ϕ	c	G	γ_1	γ
m	°	°	°	daN/cm2	daN/cm2	t/m3	t/m3
1.30	0.00	0.00	22.42	0.00	79.15	1.45	1.60

Carico limite
La fondazione data è equivalente a una fondazione rettangolare di dimensioni B=1.78 m ed L=1.44 m. Si riportano di seguito i coefficienti correttivi.

N_q	N_c	N_γ
8.162	17.360	7.560
α_q	α_c	α_γ
1.000	1.000	1.000
β_q	β_c	β_γ

1.000	1.000	1.000
ξ_q	ξ_c	ξ_γ
0.896	0.882	0.831
ψ_q	ψ_c	ψ_γ
1.000	1.000	1.000
ζ_q	ζ_c	ζ_γ
1.332	1.378	0.678
zq	zc	zg
1.000	1.000	1.000
N'_q	N'_c	N'_γ
9.743	21.097	4.262

Di seguito si riporta una sintesi dei valori utilizzati per effettuare la verifica della fondazione.

Indice di rigidezza critico Ir_{crit}	30.020
Indice di rigidezza Ir	578.840
Azione verticale sollecitante V	9692 daN
Azione orizzontale sollecitante H	706 daN
Eccentricità lungo B eb	0.00 m
Eccentricità lungo L el	0.38 m
Carico limite verticale di calcolo Q_{lim}	2.45 daN/cm2
Carico limite verticale di progetto Qd	1.06 daN/cm2
Coefficiente di sicurezza γ_v	2.300
Carico limite orizzontale di calcolo H_{lim}	3999 daN
Carico limite orizzontale di progetto Hd	3635 daN
Coefficiente di sicurezza γ_h	1.100
V=9692 daN ≤ Vd=27248 daN	**VERIFICATO**
H=706 daN ≤ Hd=3635 daN	**VERIFICATO**

Platea 1-(8+9)-I-1

Geometria e terreno
La fondazione è rettangolare, la falda è assente.

Geometria fondazione

Base B	Lunghezza L	Eccentricità eb	Eccentricità el	Forza Fv	Forza Fh
m	m	m	m	daN	daN
1.79	2.20	0.38	0.12	7455	614

Parametri geotecnici

D	ε	ω	ϕ	c	G	γ_1	γ
m	°	°	°	daN/cm2	daN/cm2	t/m3	t/m3
1.30	0.00	0.00	22.42	0.00	79.15	1.45	1.60

Carico limite
La fondazione data è equivalente a una fondazione rettangolare di dimensioni B=1.02 m ed L=1.95 m. Si riportano di seguito i coefficienti correttivi.

N_q	N_c	N_γ
8.162	17.360	7.560
α_q	α_c	α_γ
1.000	1.000	1.000
β_q	β_c	β_γ
1.000	1.000	1.000
ξ_q	ξ_c	ξ_γ
0.867	0.849	0.796
ψ_q	ψ_c	ψ_γ
1.000	1.000	1.000
ζ_q	ζ_c	ζ_γ

1.215	1.245	0.792
zq	zc	zg
1.000	1.000	0.910
N'_q	N'_c	N'_γ
8.598	18.337	4.338

Di seguito si riporta una sintesi dei valori utilizzati per effettuare la verifica della fondazione.

Coeff. sismico Kh	0.078
Indice di rigidezza critico Ir_{crit}	48.830
Indice di rigidezza Ir	710.705
Azione verticale sollecitante V	7455 daN
Azione orizzontale sollecitante H	614 daN
Eccentricità lungo B eb	0.38 m
Eccentricità lungo L el	0.12 m
Carico limite verticale di calcolo Q_{lim}	1.97 daN/cm2
Carico limite verticale di progetto Qd	0.86 daN/cm2
Coefficiente di sicurezza γ_v	2.300
Carico limite orizzontale di calcolo H_{lim}	3076 daN
Carico limite orizzontale di progetto Hd	2796 daN
Coefficiente di sicurezza γ_h	1.100
V=7455 daN ≤ Vd=17043 daN	**VERIFICATO**
H=614 daN ≤ Hd=2796 daN	**VERIFICATO**

Platea 1-(8+9)-I-2

Geometria e terreno
La fondazione è rettangolare, la falda è assente.

Geometria fondazione

Base B	Lunghezza L	Eccentricità eb	Eccentricità el	Forza Fv	Forza Fh
m	m	m	m	daN	daN
1.79	2.20	0.38	0.12	7455	614

Parametri geotecnici

D	ε	ω	ϕ	c	G	γ_1	γ
m	°	°	°	daN/cm2	daN/cm2	t/m3	t/m3
1.30	0.00	0.00	22.42	0.00	79.15	1.45	1.60

Carico limite
La fondazione data è equivalente a una fondazione rettangolare di dimensioni B=1.02 m ed L=1.95 m. Si riportano di seguito i coefficienti correttivi.

N_q	N_c	N_γ
8.162	17.360	7.560
α_q	α_c	α_γ
1.000	1.000	1.000
β_q	β_c	β_γ
1.000	1.000	1.000
ξ_q	ξ_c	ξ_γ
0.867	0.849	0.796
ψ_q	ψ_c	ψ_γ
1.000	1.000	1.000
ζ_q	ζ_c	ζ_γ
1.215	1.245	0.792
zq	zc	zg
1.000	1.000	0.910
N'_q	N'_c	N'_γ
8.597	18.336	4.338

Di seguito si riporta una sintesi dei valori utilizzati per effettuare la verifica della fondazione.

Coeff. sismico Kh	0.078
Indice di rigidezza critico Ir_{crit}	48.835
Indice di rigidezza Ir	710.716
Azione verticale sollecitante V	7455 daN
Azione orizzontale sollecitante H	614 daN
Eccentricità lungo B eb	0.38 m
Eccentricità lungo L el	0.12 m
Carico limite verticale di calcolo Q_{lim}	1.97 daN/cm2
Carico limite verticale di progetto Qd	0.86 daN/cm2
Coefficiente di sicurezza γ_v	2.300
Carico limite orizzontale di calcolo H_{lim}	3076 daN
Carico limite orizzontale di progetto Hd	2796 daN
Coefficiente di sicurezza γ_h	1.100
V=7455 daN ≤ Vd=17045 daN	**VERIFICATO**
H=614 daN ≤ Hd=2796 daN	**VERIFICATO**

Platea 1-(8+9)-I-3

Geometria e terreno
La fondazione è rettangolare, la falda è assente.

Geometria fondazione

Base B	Lunghezza L	Eccentricità eb	Eccentricità el	Forza Fv	Forza Fh
m	m	m	m	daN	daN
1.79	2.20	0.38	0.12	7455	614

Parametri geotecnici

D	ε	ω	ϕ	c	G	γ_1	γ
m	°	°	°	daN/cm2	daN/cm2	t/m3	t/m3
1.30	0.00	0.00	22.42	0.00	79.15	1.45	1.60

Carico limite
La fondazione data è equivalente a una fondazione rettangolare di dimensioni B=1.02 m ed L=1.95 m. Si riportano di seguito i coefficienti correttivi.

N_q	N_c	N_γ
8.162	17.360	7.560
α_q	α_c	α_γ
1.000	1.000	1.000
β_q	β_c	β_γ
1.000	1.000	1.000
ξ_q	ξ_c	ξ_γ
0.867	0.849	0.796
ψ_q	ψ_c	ψ_γ
1.000	1.000	1.000
ζ_q	ζ_c	ζ_γ
1.215	1.245	0.792
zq	zc	zg
1.000	1.000	0.910
N'_q	N'_c	N'_γ
8.598	18.336	4.338

Di seguito si riporta una sintesi dei valori utilizzati per effettuare la verifica della fondazione.

Coeff. sismico Kh	0.078
Indice di rigidezza critico Ir_{crit}	48.833

Indice di rigidezza Ir	710.716
Azione verticale sollecitante V	7455 daN
Azione orizzontale sollecitante H	614 daN
Eccentricità lungo B eb	0.38 m
Eccentricità lungo L el	0.12 m
Carico limite verticale di calcolo Q_{lim}	1.97 daN/cm2
Carico limite verticale di progetto Qd	0.86 daN/cm2
Coefficiente di sicurezza γ_v	2.300
Carico limite orizzontale di calcolo H_{lim}	3076 daN
Carico limite orizzontale di progetto Hd	2796 daN
Coefficiente di sicurezza γ_h	1.100
V=7455 daN ≤ Vd=17043 daN	**VERIFICATO**
H=614 daN ≤ Hd=2796 daN	**VERIFICATO**

Platea 1-(8+9)-I-4

Geometria e terreno
La fondazione è rettangolare, la falda è assente.

Geometria fondazione

Base B	Lunghezza L	Eccentricità eb	Eccentricità el	Forza Fv	Forza Fh
m	m	m	m	daN	daN
1.79	2.20	0.38	0.12	7455	614

Parametri geotecnici

D	ε	ω	ϕ	c	G	γ_1	γ
m	°	°	°	daN/cm2	daN/cm2	t/m3	t/m3
1.30	0.00	0.00	22.42	0.00	79.15	1.45	1.60

Carico limite
La fondazione data è equivalente a una fondazione rettangolare di dimensioni B=1.02 m ed L=1.95 m. Si riportano di seguito i coefficienti correttivi.

N_q	N_c	N_γ
8.162	17.360	7.560
α_q	α_c	α_γ
1.000	1.000	1.000
β_q	β_c	β_γ
1.000	1.000	1.000
ξ_q	ξ_c	ξ_γ
0.867	0.849	0.796
ψ_q	ψ_c	ψ_γ
1.000	1.000	1.000
ζ_q	ζ_c	ζ_γ
1.215	1.245	0.792
zq	zc	zg
1.000	1.000	0.910
N'_q	N'_c	N'_γ
8.598	18.337	4.338

Di seguito si riporta una sintesi dei valori utilizzati per effettuare la verifica della fondazione.

Coeff. sismico Kh	0.078
Indice di rigidezza critico Ir_{crit}	48.832
Indice di rigidezza Ir	710.707
Azione verticale sollecitante V	7455 daN
Azione orizzontale sollecitante H	614 daN
Eccentricità lungo B eb	0.38 m
Eccentricità lungo L el	0.12 m

Carico limite verticale di calcolo Q_{lim} 1.97 daN/cm2
Carico limite verticale di progetto Qd 0.86 daN/cm2
Coefficiente di sicurezza γ_v 2.300

Carico limite orizzontale di calcolo H_{lim} 3076 daN
Carico limite orizzontale di progetto Hd 2796 daN
Coefficiente di sicurezza γ_h 1.100
V=7455 daN ≤ Vd=17044 daN **VERIFICATO**
H=614 daN ≤ Hd=2796 daN **VERIFICATO**

Platea 1-(8+9)-II-1

Geometria e terreno
La fondazione è rettangolare, la falda è assente.

Geometria fondazione

Base B	Lunghezza L	Eccentricità eb	Eccentricità el	Forza Fv	Forza Fh
m	m	m	m	daN	daN
1.79	2.20	0.12	0.41	7455	593

Parametri geotecnici

D	ε	ω	ϕ	c	G	γ_1	γ
m	°	°	°	daN/cm2	daN/cm2	t/m3	t/m3
1.30	0.00	0.00	22.42	0.00	79.15	1.45	1.60

Carico limite
La fondazione data è equivalente a una fondazione rettangolare di dimensioni B=1.55 m ed L=1.38 m. Si riportano di seguito i coefficienti correttivi.

N_q	N_c	N_γ
8.162	17.360	7.560
α_q	α_c	α_γ
1.000	1.000	1.000
β_q	β_c	β_γ
1.000	1.000	1.000
ξ_q	ξ_c	ξ_γ
0.885	0.869	0.815
ψ_q	ψ_c	ψ_γ
1.000	1.000	1.000
ζ_q	ζ_c	ζ_γ
1.366	1.417	0.645
zq	zc	zg
1.000	1.000	0.910
N'_q	N'_c	N'_γ
9.869	21.381	3.618

Di seguito si riporta una sintesi dei valori utilizzati per effettuare la verifica della fondazione.
Coeff. sismico Kh 0.078
Indice di rigidezza critico Ir_{crit} 32.459
Indice di rigidezza Ir 612.939
Azione verticale sollecitante V 7455 daN
Azione orizzontale sollecitante H 593 daN
Eccentricità lungo B eb 0.12 m
Eccentricità lungo L el 0.41 m
Carico limite verticale di calcolo Q_{lim} 2.31 daN/cm2
Carico limite verticale di progetto Qd 1.01 daN/cm2
Coefficiente di sicurezza γ_v 2.300

Carico limite orizzontale di calcolo H_{lim} 3076 daN
Carico limite orizzontale di progetto Hd 2796 daN
Coefficiente di sicurezza γ_h 1.100
V=7455 daN ≤ Vd=21539 daN **VERIFICATO**
H=593 daN ≤ Hd=2796 daN **VERIFICATO**

Platea 1-(8+9)-II-2

Geometria e terreno
La fondazione è rettangolare, la falda è assente.

Geometria fondazione

Base B	Lunghezza L	Eccentricità eb	Eccentricità el	Forza Fv	Forza Fh
m	m	m	m	daN	daN
1.79	2.20	0.12	0.41	7455	594

Parametri geotecnici

D	ε	ω	ϕ	c	G	γ_1	γ
m	°	°	°	daN/cm2	daN/cm2	t/m3	t/m3
1.30	0.00	0.00	22.42	0.00	79.15	1.45	1.60

Carico limite
La fondazione data è equivalente a una fondazione rettangolare di dimensioni B=1.55 m ed L=1.38 m. Si riportano di seguito i coefficienti correttivi.

N_q	N_c	N_γ
8.162	17.360	7.560
α_q	α_c	α_γ
1.000	1.000	1.000
β_q	β_c	β_γ
1.000	1.000	1.000
ξ_q	ξ_c	ξ_γ
0.885	0.869	0.815
ψ_q	ψ_c	ψ_γ
1.000	1.000	1.000
ζ_q	ζ_c	ζ_γ
1.366	1.417	0.645
zq	zc	zg
1.000	1.000	0.910
N'_q	N'_c	N'_γ
9.870	21.382	3.618

Di seguito si riporta una sintesi dei valori utilizzati per effettuare la verifica della fondazione.
Coeff. sismico Kh 0.078
Indice di rigidezza critico Ir_{crit} 32.466
Indice di rigidezza Ir 612.964
Azione verticale sollecitante V 7455 daN
Azione orizzontale sollecitante H 594 daN
Eccentricità lungo B eb 0.12 m
Eccentricità lungo L el 0.41 m
Carico limite verticale di calcolo Q_{lim} 2.31 daN/cm2
Carico limite verticale di progetto Qd 1.01 daN/cm2
Coefficiente di sicurezza γ_v 2.300

Carico limite orizzontale di calcolo H_{lim} 3076 daN
Carico limite orizzontale di progetto Hd 2796 daN
Coefficiente di sicurezza γ_h 1.100
V=7455 daN ≤ Vd=21540 daN **VERIFICATO**

H=594 daN ≤ Hd=2796 daN **VERIFICATO**

Platea 1-(8+9)-II-3

Geometria e terreno
La fondazione è rettangolare, la falda è assente.

Geometria fondazione

Base B	Lunghezza L	Eccentricità eb	Eccentricità el	Forza Fv	Forza Fh
m	m	m	m	daN	daN
1.79	2.20	0.12	0.41	7455	594

Parametri geotecnici

D	ε	ω	ϕ	c	G	γ_1	γ
m	°	°	°	daN/cm2	daN/cm2	t/m3	t/m3
1.30	0.00	0.00	22.42	0.00	79.15	1.45	1.60

Carico limite
La fondazione data è equivalente a una fondazione rettangolare di dimensioni B=1.55 m ed L=1.38 m. Si riportano di seguito i coefficienti correttivi.

N_q	N_c	N_γ
8.162	17.360	7.560
α_q	α_c	α_γ
1.000	1.000	1.000
β_q	β_c	β_γ
1.000	1.000	1.000
ξ_q	ξ_c	ξ_γ
0.885	0.869	0.815
ψ_q	ψ_c	ψ_γ
1.000	1.000	1.000
ζ_q	ζ_c	ζ_γ
1.366	1.417	0.645
zq	zc	zg
1.000	1.000	0.910
N'_q	N'_c	N'_γ
9.870	21.382	3.618

Di seguito si riporta una sintesi dei valori utilizzati per effettuare la verifica della fondazione.

Coeff. sismico Kh	0.078
Indice di rigidezza critico Ir_{crit}	32.464
Indice di rigidezza Ir	612.968
Azione verticale sollecitante V	7455 daN
Azione orizzontale sollecitante H	594 daN
Eccentricità lungo B eb	0.12 m
Eccentricità lungo L el	0.41 m
Carico limite verticale di calcolo Q_{lim}	2.31 daN/cm2
Carico limite verticale di progetto Qd	1.01 daN/cm2
Coefficiente di sicurezza γ_v	2.300
Carico limite orizzontale di calcolo H_{lim}	3076 daN
Carico limite orizzontale di progetto Hd	2796 daN
Coefficiente di sicurezza γ_h	1.100
V=7455 daN ≤ Vd=21537 daN	**VERIFICATO**
H=594 daN ≤ Hd=2796 daN	**VERIFICATO**

Platea 1-(8+9)-II-4

Geometria e terreno
La fondazione è rettangolare, la falda è assente.

Geometria fondazione

Base B	Lunghezza L	Eccentricità eb	Eccentricità el	Forza Fv	Forza Fh
m	m	m	m	daN	daN
1.79	2.20	0.12	0.41	7455	593

Parametri geotecnici

D	ε	ω	ϕ	c	G	γ_1	γ
m	°	°	°	daN/cm2	daN/cm2	t/m3	t/m3
1.30	0.00	0.00	22.42	0.00	79.15	1.45	1.60

Carico limite
La fondazione data è equivalente a una fondazione rettangolare di dimensioni B=1.55 m ed L=1.38 m. Si riportano di seguito i coefficienti correttivi.

N_q	N_c	N_γ
8.162	17.360	7.560
α_q	α_c	α_γ
1.000	1.000	1.000
β_q	β_c	β_γ
1.000	1.000	1.000
ξ_q	ξ_c	ξ_γ
0.885	0.869	0.815
ψ_q	ψ_c	ψ_γ
1.000	1.000	1.000
ζ_q	ζ_c	ζ_γ
1.366	1.417	0.645
zq	zc	zg
1.000	1.000	0.910
N'_q	N'_c	N'_γ
9.870	21.382	3.618

Di seguito si riporta una sintesi dei valori utilizzati per effettuare la verifica della fondazione.

Coeff. sismico Kh	0.078
Indice di rigidezza critico Ir_{crit}	32.463
Indice di rigidezza Ir	612.943
Azione verticale sollecitante V	7455 daN
Azione orizzontale sollecitante H	593 daN
Eccentricità lungo B eb	0.12 m
Eccentricità lungo L el	0.41 m
Carico limite verticale di calcolo Q_{lim}	2.31 daN/cm2
Carico limite verticale di progetto Qd	1.01 daN/cm2
Coefficiente di sicurezza γ_v	2.300
Carico limite orizzontale di calcolo H_{lim}	3076 daN
Carico limite orizzontale di progetto Hd	2796 daN
Coefficiente di sicurezza γ_h	1.100
V=7455 daN ≤ Vd=21542 daN	**VERIFICATO**
H=593 daN ≤ Hd=2796 daN	**VERIFICATO**

Platea 1-(8+9)-III-1

Geometria e terreno
La fondazione è rettangolare, la falda è assente.

Geometria fondazione

Base B	Lunghezza L	Eccentricità eb	Eccentricità el	Forza Fv	Forza Fh
m	m	m	m	daN	daN
1.79	2.20	0.38	0.12	7455	614

Parametri geotecnici

D	ε	ω	ϕ	c	G	γ_1	γ
m	°	°	°	daN/cm2	daN/cm2	t/m3	t/m3
1.30	0.00	0.00	22.42	0.00	79.15	1.45	1.60

Carico limite

La fondazione data è equivalente a una fondazione rettangolare di dimensioni B=1.02 m ed L=1.95 m. Si riportano di seguito i coefficienti correttivi.

N_q	N_c	N_γ
8.162	17.360	7.560
α_q	α_c	α_γ
1.000	1.000	1.000
β_q	β_c	β_γ
1.000	1.000	1.000
ξ_q	ξ_c	ξ_γ
0.867	0.849	0.796
ψ_q	ψ_c	ψ_γ
1.000	1.000	1.000
ζ_q	ζ_c	ζ_γ
1.215	1.245	0.792
zq	zc	zg
1.000	1.000	0.910
N'_q	N'_c	N'_γ
8.598	18.337	4.338

Di seguito si riporta una sintesi dei valori utilizzati per effettuare la verifica della fondazione.

Coeff. sismico Kh	0.078
Indice di rigidezza critico Ir_{crit}	48.830
Indice di rigidezza Ir	710.702
Azione verticale sollecitante V	7455 daN
Azione orizzontale sollecitante H	614 daN
Eccentricità lungo B eb	0.38 m
Eccentricità lungo L el	0.12 m
Carico limite verticale di calcolo Q_{lim}	1.97 daN/cm2
Carico limite verticale di progetto Qd	0.86 daN/cm2
Coefficiente di sicurezza γ_v	2.300
Carico limite orizzontale di calcolo H_{lim}	3076 daN
Carico limite orizzontale di progetto Hd	2796 daN
Coefficiente di sicurezza γ_h	1.100
V=7455 daN ≤ Vd=17043 daN	**VERIFICATO**
H=614 daN ≤ Hd=2796 daN	**VERIFICATO**

Platea 1-(8+9)-III-2

Geometria e terreno

La fondazione è rettangolare, la falda è assente.

Geometria fondazione

Base B	Lunghezza L	Eccentricità eb	Eccentricità el	Forza Fv	Forza Fh
m	m	m	m	daN	daN
1.79	2.20	0.38	0.12	7455	614

Parametri geotecnici

D	ε	ω	ϕ	c	G	γ_1	γ
m	°	°	°	daN/cm2	daN/cm2	t/m3	t/m3
1.30	0.00	0.00	22.42	0.00	79.15	1.45	1.60

Carico limite

La fondazione data è equivalente a una fondazione rettangolare di dimensioni B=1.02 m ed L=1.95 m. Si riportano di seguito i coefficienti correttivi.

N_q	N_c	N_γ
8.162	17.360	7.560
α_q	α_c	α_γ
1.000	1.000	1.000
β_q	β_c	β_γ
1.000	1.000	1.000
ξ_q	ξ_c	ξ_γ
0.867	0.849	0.796
ψ_q	ψ_c	ψ_γ
1.000	1.000	1.000
ζ_q	ζ_c	ζ_γ
1.215	1.245	0.792
zq	zc	zg
1.000	1.000	0.910
N'_q	N'_c	N'_γ
8.597	18.336	4.338

Di seguito si riporta una sintesi dei valori utilizzati per effettuare la verifica della fondazione.

Coeff. sismico Kh	0.078
Indice di rigidezza critico Ir_{crit}	48.835
Indice di rigidezza Ir	710.719
Azione verticale sollecitante V	7455 daN
Azione orizzontale sollecitante H	614 daN
Eccentricità lungo B eb	0.38 m
Eccentricità lungo L el	0.12 m
Carico limite verticale di calcolo Q_{lim}	1.97 daN/cm2
Carico limite verticale di progetto Qd	0.86 daN/cm2
Coefficiente di sicurezza γ_v	2.300
Carico limite orizzontale di calcolo H_{lim}	3076 daN
Carico limite orizzontale di progetto Hd	2796 daN
Coefficiente di sicurezza γ_h	1.100
V=7455 daN ≤ Vd=17044 daN	**VERIFICATO**
H=614 daN ≤ Hd=2796 daN	**VERIFICATO**

Platea 1-(8+9)-III-3

Geometria e terreno

La fondazione è rettangolare, la falda è assente.

Geometria fondazione

Base B	Lunghezza L	Eccentricità eb	Eccentricità el	Forza Fv	Forza Fh
m	m	m	m	daN	daN
1.79	2.20	0.38	0.12	7455	614

Parametri geotecnici

D	ε	ω	ϕ	c	G	γ_1	γ
m	°	°	°	daN/cm2	daN/cm2	t/m3	t/m3

D	ε	ω	ϕ	c	G	γ_1	γ
1.30	0.00	0.00	22.42	0.00	79.15	1.45	1.60

Carico limite
La fondazione data è equivalente a una fondazione rettangolare di dimensioni B=1.02 m ed L=1.95 m. Si riportano di seguito i coefficienti correttivi.

N_q	N_c	N_γ
8.162	17.360	7.560
α_q	α_c	α_γ
1.000	1.000	1.000
β_q	β_c	β_γ
1.000	1.000	1.000
ξ_q	ξ_c	ξ_γ
0.867	0.849	0.796
ψ_q	ψ_c	ψ_γ
1.000	1.000	1.000
ζ_q	ζ_c	ζ_γ
1.215	1.245	0.792
zq	zc	zg
1.000	1.000	0.910
N'_q	N'_c	N'_γ
8.598	18.336	4.338

Di seguito si riporta una sintesi dei valori utilizzati per effettuare la verifica della fondazione.

Coeff. sismico Kh	0.078
Indice di rigidezza critico Ir_{crit}	48.834
Indice di rigidezza Ir	710.720
Azione verticale sollecitante V	7455 daN
Azione orizzontale sollecitante H	614 daN
Eccentricità lungo B eb	0.38 m
Eccentricità lungo L el	0.12 m
Carico limite verticale di calcolo Q_{lim}	1.97 daN/cm2
Carico limite verticale di progetto Qd	0.86 daN/cm2
Coefficiente di sicurezza γ_v	2.300
Carico limite orizzontale di calcolo H_{lim}	3076 daN
Carico limite orizzontale di progetto Hd	2796 daN
Coefficiente di sicurezza γ_h	1.100
V=7455 daN ≤ Vd=17043 daN	**VERIFICATO**
H=614 daN ≤ Hd=2796 daN	**VERIFICATO**

Platea 1-(8+9)-III-4

Geometria e terreno
La fondazione è rettangolare, la falda è assente.

Geometria fondazione

Base B	Lunghezza L	Eccentricità eb	Eccentricità el	Forza Fv	Forza Fh
m	m	m	m	daN	daN
1.79	2.20	0.38	0.12	7455	614

Parametri geotecnici

D	ε	ω	ϕ	c	G	γ_1	γ
m	°	°	°	daN/cm2	daN/cm2	t/m3	t/m3
1.30	0.00	0.00	22.42	0.00	79.15	1.45	1.60

Carico limite
La fondazione data è equivalente a una fondazione rettangolare di dimensioni B=1.02 m ed L=1.95 m. Si riportano di seguito i coefficienti correttivi.

N_q	N_c	N_γ
8.162	17.360	7.560
α_q	α_c	α_γ
1.000	1.000	1.000
β_q	β_c	β_γ
1.000	1.000	1.000
ξ_q	ξ_c	ξ_γ
0.867	0.849	0.796
ψ_q	ψ_c	ψ_γ
1.000	1.000	1.000
ζ_q	ζ_c	ζ_γ
1.215	1.245	0.792
zq	zc	zg
1.000	1.000	0.910
N'_q	N'_c	N'_γ
8.598	18.337	4.338

Di seguito si riporta una sintesi dei valori utilizzati per effettuare la verifica della fondazione.

Coeff. sismico Kh	0.078
Indice di rigidezza critico Ir_{crit}	48.832
Indice di rigidezza Ir	710.703
Azione verticale sollecitante V	7455 daN
Azione orizzontale sollecitante H	614 daN
Eccentricità lungo B eb	0.38 m
Eccentricità lungo L el	0.12 m
Carico limite verticale di calcolo Q_{lim}	1.97 daN/cm2
Carico limite verticale di progetto Qd	0.86 daN/cm2
Coefficiente di sicurezza γ_v	2.300
Carico limite orizzontale di calcolo H_{lim}	3076 daN
Carico limite orizzontale di progetto Hd	2796 daN
Coefficiente di sicurezza γ_h	1.100
V=7455 daN ≤ Vd=17045 daN	**VERIFICATO**
H=614 daN ≤ Hd=2796 daN	**VERIFICATO**

Platea 1-(8+9)-IV-1

Geometria e terreno
La fondazione è rettangolare, la falda è assente.

Geometria fondazione

Base B	Lunghezza L	Eccentricità eb	Eccentricità el	Forza Fv	Forza Fh
m	m	m	m	daN	daN
1.79	2.20	0.12	0.41	7455	593

Parametri geotecnici

D	ε	ω	ϕ	c	G	γ_1	γ
m	°	°	°	daN/cm2	daN/cm2	t/m3	t/m3
1.30	0.00	0.00	22.42	0.00	79.15	1.45	1.60

Carico limite
La fondazione data è equivalente a una fondazione rettangolare di dimensioni B=1.55 m ed L=1.38 m. Si riportano di seguito i coefficienti correttivi.

N_q	N_c	N_γ
8.162	17.360	7.560
α_q	α_c	α_γ
1.000	1.000	1.000
β_q	β_c	β_γ
1.000	1.000	1.000
ξ_q	ξ_c	ξ_γ
0.885	0.869	0.815
ψ_q	ψ_c	ψ_γ
1.000	1.000	1.000
ζ_q	ζ_c	ζ_γ
1.366	1.417	0.645
zq	zc	zg
1.000	1.000	0.910
N'_q	N'_c	N'_γ
9.869	21.381	3.618

Di seguito si riporta una sintesi dei valori utilizzati per effettuare la verifica della fondazione.

Coeff. sismico Kh	0.078
Indice di rigidezza critico Ir_{crit}	32.460
Indice di rigidezza Ir	612.930
Azione verticale sollecitante V	7455 daN
Azione orizzontale sollecitante H	593 daN
Eccentricità lungo B eb	0.12 m
Eccentricità lungo L el	0.41 m
Carico limite verticale di calcolo Q_{lim}	2.31 daN/cm2
Carico limite verticale di progetto Qd	1.01 daN/cm2
Coefficiente di sicurezza γ_v	2.300
Carico limite orizzontale di calcolo H_{lim}	3076 daN
Carico limite orizzontale di progetto Hd	2796 daN
Coefficiente di sicurezza γ_h	1.100
V=7455 daN ≤ Vd=21541 daN	**VERIFICATO**
H=593 daN ≤ Hd=2796 daN	**VERIFICATO**

Platea 1-(8+9)-IV-2

Geometria e terreno
La fondazione è rettangolare, la falda è assente.

Geometria fondazione

Base B	Lunghezza L	Eccentricità eb	Eccentricità el	Forza Fv	Forza Fh
m	m	m	m	daN	daN
1.79	2.20	0.12	0.41	7455	593

Parametri geotecnici

D	ε	ω	ϕ	c	G	γ_1	γ
m	°	°	°	daN/cm2	daN/cm2	t/m3	t/m3
1.30	0.00	0.00	22.42	0.00	79.15	1.45	1.60

Carico limite
La fondazione data è equivalente a una fondazione rettangolare di dimensioni B=1.55 m ed L=1.38 m. Si riportano di seguito i coefficienti correttivi.

N_q	N_c	N_γ
8.162	17.360	7.560
α_q	α_c	α_γ
1.000	1.000	1.000
β_q	β_c	β_γ

1.000	1.000	1.000
ξ_q	ξ_c	ξ_γ
0.885	0.869	0.815
ψ_q	ψ_c	ψ_γ
1.000	1.000	1.000
ζ_q	ζ_c	ζ_γ
1.366	1.417	0.645
zq	zc	zg
1.000	1.000	0.910
N'_q	N'_c	N'_γ
9.870	21.383	3.618

Di seguito si riporta una sintesi dei valori utilizzati per effettuare la verifica della fondazione.

Coeff. sismico Kh	0.078
Indice di rigidezza critico Ir_{crit}	32.468
Indice di rigidezza Ir	612.973
Azione verticale sollecitante V	7455 daN
Azione orizzontale sollecitante H	593 daN
Eccentricità lungo B eb	0.12 m
Eccentricità lungo L el	0.41 m
Carico limite verticale di calcolo Q_{lim}	2.31 daN/cm2
Carico limite verticale di progetto Qd	1.01 daN/cm2
Coefficiente di sicurezza γ_v	2.300
Carico limite orizzontale di calcolo H_{lim}	3076 daN
Carico limite orizzontale di progetto Hd	2796 daN
Coefficiente di sicurezza γ_h	1.100
V=7455 daN ≤ Vd=21541 daN	**VERIFICATO**
H=593 daN ≤ Hd=2796 daN	**VERIFICATO**

Platea 1-(8+9)-IV-3

Geometria e terreno
La fondazione è rettangolare, la falda è assente.

Geometria fondazione

Base B	Lunghezza L	Eccentricità eb	Eccentricità el	Forza Fv	Forza Fh
m	m	m	m	daN	daN
1.79	2.20	0.12	0.41	7455	593

Parametri geotecnici

D	ε	ω	ϕ	c	G	γ_1	γ
m	°	°	°	daN/cm2	daN/cm2	t/m3	t/m3
1.30	0.00	0.00	22.42	0.00	79.15	1.45	1.60

Carico limite
La fondazione data è equivalente a una fondazione rettangolare di dimensioni B=1.55 m ed L=1.38 m. Si riportano di seguito i coefficienti correttivi.

N_q	N_c	N_γ
8.162	17.360	7.560
α_q	α_c	α_γ
1.000	1.000	1.000
β_q	β_c	β_γ
1.000	1.000	1.000
ξ_q	ξ_c	ξ_γ
0.885	0.869	0.815
ψ_q	ψ_c	ψ_γ
1.000	1.000	1.000

ζ_q	ζ_c	ζ_γ
1.366	1.417	0.645
zq	zc	zg
1.000	1.000	0.910
N'_q	N'_c	N'_γ
9.870	21.383	3.618

Di seguito si riporta una sintesi dei valori utilizzati per effettuare la verifica della fondazione.

Coeff. sismico Kh	0.078
Indice di rigidezza critico Ir_{crit}	32.466
Indice di rigidezza Ir	612.977
Azione verticale sollecitante V	7455 daN
Azione orizzontale sollecitante H	593 daN
Eccentricità lungo B eb	0.12 m
Eccentricità lungo L el	0.41 m
Carico limite verticale di calcolo Q_{lim}	2.31 daN/cm2
Carico limite verticale di progetto Qd	1.01 daN/cm2
Coefficiente di sicurezza γ_v	2.300
Carico limite orizzontale di calcolo H_{lim}	3076 daN
Carico limite orizzontale di progetto Hd	2796 daN
Coefficiente di sicurezza γ_h	1.100
V=7455 daN ≤ Vd=21538 daN	**VERIFICATO**
H=593 daN ≤ Hd=2796 daN	**VERIFICATO**

Platea 1-(8+9)-IV-4

Geometria e terreno
La fondazione è rettangolare, la falda è assente.

Geometria fondazione

Base B	Lunghezza L	Eccentricità eb	Eccentricità el	Forza Fv	Forza Fh
m	m	m	m	daN	daN
1.79	2.20	0.12	0.41	7455	593

Parametri geotecnici

D	ε	ω	ϕ	c	G	γ_1	γ
m	°	°	°	daN/cm2	daN/cm2	t/m3	t/m3
1.30	0.00	0.00	22.42	0.00	79.15	1.45	1.60

Carico limite
La fondazione data è equivalente a una fondazione rettangolare di dimensioni B=1.55 m ed L=1.38 m. Si riportano di seguito i coefficienti correttivi.

N_q	N_c	N_γ
8.162	17.360	7.560
α_q	α_c	α_γ
1.000	1.000	1.000
β_q	β_c	β_γ
1.000	1.000	1.000
ξ_q	ξ_c	ξ_γ
0.885	0.869	0.815
ψ_q	ψ_c	ψ_γ
1.000	1.000	1.000
ζ_q	ζ_c	ζ_γ
1.366	1.417	0.645
zq	zc	zg
1.000	1.000	0.910
N'_q	N'_c	N'_γ

9.870	21.382	3.618

Di seguito si riporta una sintesi dei valori utilizzati per effettuare la verifica della fondazione.

Coeff. sismico Kh	0.078
Indice di rigidezza critico Ir_{crit}	32.463
Indice di rigidezza Ir	612.934
Azione verticale sollecitante V	7455 daN
Azione orizzontale sollecitante H	593 daN
Eccentricità lungo B eb	0.12 m
Eccentricità lungo L el	0.41 m
Carico limite verticale di calcolo Q_{lim}	2.31 daN/cm2
Carico limite verticale di progetto Qd	1.01 daN/cm2
Coefficiente di sicurezza γ_v	2.300
Carico limite orizzontale di calcolo H_{lim}	3076 daN
Carico limite orizzontale di progetto Hd	2796 daN
Coefficiente di sicurezza γ_h	1.100
V=7455 daN ≤ Vd=21544 daN	**VERIFICATO**
H=593 daN ≤ Hd=2796 daN	**VERIFICATO**

Platea 1-(8+9)-V-1

Geometria e terreno
La fondazione è rettangolare, la falda è assente.

Geometria fondazione

Base B	Lunghezza L	Eccentricità eb	Eccentricità el	Forza Fv	Forza Fh
m	m	m	m	daN	daN
1.79	2.20	0.38	0.12	7455	615

Parametri geotecnici

D	ε	ω	ϕ	c	G	γ_1	γ
m	°	°	°	daN/cm2	daN/cm2	t/m3	t/m3
1.30	0.00	0.00	22.42	0.00	79.15	1.45	1.60

Carico limite
La fondazione data è equivalente a una fondazione rettangolare di dimensioni B=1.02 m ed L=1.95 m. Si riportano di seguito i coefficienti correttivi.

N_q	N_c	N_γ
8.162	17.360	7.560
α_q	α_c	α_γ
1.000	1.000	1.000
β_q	β_c	β_γ
1.000	1.000	1.000
ξ_q	ξ_c	ξ_γ
0.867	0.848	0.795
ψ_q	ψ_c	ψ_γ
1.000	1.000	1.000
ζ_q	ζ_c	ζ_γ
1.214	1.244	0.792
zq	zc	zg
1.000	1.000	0.910
N'_q	N'_c	N'_γ
8.593	18.326	4.336

Di seguito si riporta una sintesi dei valori utilizzati per effettuare la verifica della fondazione.

Coeff. sismico Kh	0.078

Indice di rigidezza critico Ir_{crit}	48.845
Indice di rigidezza Ir	710.909
Azione verticale sollecitante V	7455 daN
Azione orizzontale sollecitante H	615 daN
Eccentricità lungo B eb	0.38 m
Eccentricità lungo L el	0.12 m
Carico limite verticale di calcolo Q_{lim}	1.97 daN/cm2
Carico limite verticale di progetto Qd	0.86 daN/cm2
Coefficiente di sicurezza γ_v	2.300
Carico limite orizzontale di calcolo H_{lim}	3076 daN
Carico limite orizzontale di progetto Hd	2796 daN
Coefficiente di sicurezza γ_h	1.100
V=7455 daN ≤ Vd=17013 daN	**VERIFICATO**
H=615 daN ≤ Hd=2796 daN	**VERIFICATO**

Platea 1-(8+9)-V-2

Geometria e terreno
La fondazione è rettangolare, la falda è assente.

Geometria fondazione

Base B	Lunghezza L	Eccentricità eb	Eccentricità el	Forza Fv	Forza Fh
m	m	m	m	daN	daN
1.79	2.20	0.38	0.12	7455	615

Parametri geotecnici

D	ε	ω	ϕ	c	G	γ_1	γ
m	°	°	°	daN/cm2	daN/cm2	t/m3	t/m3
1.30	0.00	0.00	22.42	0.00	79.15	1.45	1.60

Carico limite
La fondazione data è equivalente a una fondazione rettangolare di dimensioni B=1.02 m ed L=1.95 m. Si riportano di seguito i coefficienti correttivi.

N_q	N_c	N_γ
8.162	17.360	7.560
α_q	α_c	α_γ
1.000	1.000	1.000
β_q	β_c	β_γ
1.000	1.000	1.000
ξ_q	ξ_c	ξ_γ
0.867	0.848	0.795
ψ_q	ψ_c	ψ_γ
1.000	1.000	1.000
ζ_q	ζ_c	ζ_γ
1.214	1.244	0.792
zq	zc	zg
1.000	1.000	0.910
N'_q	N'_c	N'_γ
8.593	18.324	4.337

Di seguito si riporta una sintesi dei valori utilizzati per effettuare la verifica della fondazione.

Coeff. sismico Kh	0.078
Indice di rigidezza critico Ir_{crit}	48.852
Indice di rigidezza Ir	710.919
Azione verticale sollecitante V	7455 daN
Azione orizzontale sollecitante H	615 daN
Eccentricità lungo B eb	0.38 m

Eccentricità lungo L el 0.12 m
Carico limite verticale di calcolo Q_{lim} 1.97 daN/cm2
Carico limite verticale di progetto Qd 0.86 daN/cm2
Coefficiente di sicurezza γ_v 2.300

Carico limite orizzontale di calcolo H_{lim} 3076 daN
Carico limite orizzontale di progetto Hd 2796 daN
Coefficiente di sicurezza γ_h 1.100
V=7455 daN ≤ Vd=17019 daN **VERIFICATO**
H=615 daN ≤ Hd=2796 daN **VERIFICATO**

Platea 1-(8+9)-V-3

Geometria e terreno
La fondazione è rettangolare, la falda è assente.

Geometria fondazione

Base B	Lunghezza L	Eccentricità eb	Eccentricità el	Forza Fv	Forza Fh
m	m	m	m	daN	daN
1.79	2.20	0.38	0.12	7455	615

Parametri geotecnici

D	ε	ω	ϕ	c	G	γ_1	γ
m	°	°	°	daN/cm2	daN/cm2	t/m3	t/m3
1.30	0.00	0.00	22.42	0.00	79.15	1.45	1.60

Carico limite
La fondazione data è equivalente a una fondazione rettangolare di dimensioni B=1.02 m ed L=1.95 m. Si riportano di seguito i coefficienti correttivi.

N_q	N_c	N_γ
8.162	17.360	7.560
α_q	α_c	α_γ
1.000	1.000	1.000
β_q	β_c	β_γ
1.000	1.000	1.000
ξ_q	ξ_c	ξ_γ
0.867	0.848	0.795
ψ_q	ψ_c	ψ_γ
1.000	1.000	1.000
ζ_q	ζ_c	ζ_γ
1.214	1.244	0.792
zq	zc	zg
1.000	1.000	0.910
N'_q	N'_c	N'_γ
8.593	18.325	4.337

Di seguito si riporta una sintesi dei valori utilizzati per effettuare la verifica della fondazione.
Coeff. sismico Kh 0.078
Indice di rigidezza critico Ir_{crit} 48.851
Indice di rigidezza Ir 710.919
Azione verticale sollecitante V 7455 daN
Azione orizzontale sollecitante H 615 daN
Eccentricità lungo B eb 0.38 m
Eccentricità lungo L el 0.12 m
Carico limite verticale di calcolo Q_{lim} 1.97 daN/cm2
Carico limite verticale di progetto Qd 0.86 daN/cm2
Coefficiente di sicurezza γ_v 2.300

Carico limite orizzontale di calcolo H_{lim} 3076 daN
Carico limite orizzontale di progetto Hd 2796 daN
Coefficiente di sicurezza γ_h 1.100
V=7455 daN ≤ Vd=17017 daN **VERIFICATO**
H=615 daN ≤ Hd=2796 daN **VERIFICATO**

Platea 1-(8+9)-V-4

Geometria e terreno
La fondazione è rettangolare, la falda è assente.

Geometria fondazione

Base B	Lunghezza L	Eccentricità eb	Eccentricità el	Forza Fv	Forza Fh
m	m	m	m	daN	daN
1.79	2.20	0.38	0.12	7455	615

Parametri geotecnici

D	ε	ω	ϕ	c	G	γ_1	γ
m	°	°	°	daN/cm2	daN/cm2	t/m3	t/m3
1.30	0.00	0.00	22.42	0.00	79.15	1.45	1.60

Carico limite
La fondazione data è equivalente a una fondazione rettangolare di dimensioni B=1.02 m ed L=1.95 m. Si riportano di seguito i coefficienti correttivi.

N_q	N_c	N_γ
8.162	17.360	7.560
α_q	α_c	α_γ
1.000	1.000	1.000
β_q	β_c	β_γ
1.000	1.000	1.000
ξ_q	ξ_c	ξ_γ
0.867	0.848	0.795
ψ_q	ψ_c	ψ_γ
1.000	1.000	1.000
ζ_q	ζ_c	ζ_γ
1.214	1.244	0.792
zq	zc	zg
1.000	1.000	0.910
N'_q	N'_c	N'_γ
8.593	18.325	4.336

Di seguito si riporta una sintesi dei valori utilizzati per effettuare la verifica della fondazione.
Coeff. sismico Kh 0.078
Indice di rigidezza critico Ir_{crit} 48.846
Indice di rigidezza Ir 710.910
Azione verticale sollecitante V 7455 daN
Azione orizzontale sollecitante H 615 daN
Eccentricità lungo B eb 0.38 m
Eccentricità lungo L el 0.12 m
Carico limite verticale di calcolo Q_{lim} 1.97 daN/cm2
Carico limite verticale di progetto Qd 0.86 daN/cm2
Coefficiente di sicurezza γ_v 2.300

Carico limite orizzontale di calcolo H_{lim} 3076 daN
Carico limite orizzontale di progetto Hd 2796 daN
Coefficiente di sicurezza γ_h 1.100

V=7455 daN ≤ Vd=17015 daN **VERIFICATO**
H=615 daN ≤ Hd=2796 daN **VERIFICATO**

Platea 1-(8+9)-VI-1

Geometria e terreno
La fondazione è rettangolare, la falda è assente.

Geometria fondazione

Base B	Lunghezza L	Eccentricità eb	Eccentricità el	Forza Fv	Forza Fh
m	m	m	m	daN	daN
1.79	2.20	0.12	0.41	7455	594

Parametri geotecnici

D	ε	ω	ϕ	c	G	γ_1	γ
m	°	°	°	daN/cm2	daN/cm2	t/m3	t/m3
1.30	0.00	0.00	22.42	0.00	79.15	1.45	1.60

Carico limite
La fondazione data è equivalente a una fondazione rettangolare di dimensioni B=1.55 m ed L=1.38 m. Si riportano di seguito i coefficienti correttivi.

N_q	N_c	N_γ
8.162	17.360	7.560
α_q	α_c	α_γ
1.000	1.000	1.000
β_q	β_c	β_γ
1.000	1.000	1.000
ξ_q	ξ_c	ξ_γ
0.885	0.869	0.815
ψ_q	ψ_c	ψ_γ
1.000	1.000	1.000
ζ_q	ζ_c	ζ_γ
1.366	1.417	0.645
zq	zc	zg
1.000	1.000	0.910
N'_q	N'_c	N'_γ
9.869	21.381	3.618

Di seguito si riporta una sintesi dei valori utilizzati per effettuare la verifica della fondazione.
Coeff. sismico Kh 0.078
Indice di rigidezza critico Ir_{crit} 32.463
Indice di rigidezza Ir 612.984
Azione verticale sollecitante V 7455 daN
Azione orizzontale sollecitante H 594 daN
Eccentricità lungo B eb 0.12 m
Eccentricità lungo L el 0.41 m
Carico limite verticale di calcolo Q_{lim} 2.31 daN/cm2
Carico limite verticale di progetto Qd 1.00 daN/cm2
Coefficiente di sicurezza γ_v 2.300

Carico limite orizzontale di calcolo H_{lim} 3076 daN
Carico limite orizzontale di progetto Hd 2796 daN
Coefficiente di sicurezza γ_h 1.100
V=7455 daN ≤ Vd=21533 daN **VERIFICATO**
H=594 daN ≤ Hd=2796 daN **VERIFICATO**

Platea 1-(8+9)-VI-2

Geometria e terreno
La fondazione è rettangolare, la falda è assente.

Geometria fondazione

Base B	Lunghezza L	Eccentricità eb	Eccentricità el	Forza Fv	Forza Fh
m	m	m	m	daN	daN
1.79	2.20	0.12	0.41	7455	594

Parametri geotecnici

D	ε	ω	ϕ	c	G	γ_1	γ
m	°	°	°	daN/cm2	daN/cm2	t/m3	t/m3
1.30	0.00	0.00	22.42	0.00	79.15	1.45	1.60

Carico limite
La fondazione data è equivalente a una fondazione rettangolare di dimensioni B=1.55 m ed L=1.38 m. Si riportano di seguito i coefficienti correttivi.

N_q	N_c	N_γ
8.162	17.360	7.560
α_q	α_c	α_γ
1.000	1.000	1.000
β_q	β_c	β_γ
1.000	1.000	1.000
ξ_q	ξ_c	ξ_γ
0.885	0.869	0.815
ψ_q	ψ_c	ψ_γ
1.000	1.000	1.000
ζ_q	ζ_c	ζ_γ
1.366	1.417	0.645
zq	zc	zg
1.000	1.000	0.910
N'_q	N'_c	N'_γ
9.870	21.383	3.617

Di seguito si riporta una sintesi dei valori utilizzati per effettuare la verifica della fondazione.

Coeff. sismico Kh	0.078
Indice di rigidezza critico Ir_{crit}	32.472
Indice di rigidezza Ir	613.010
Azione verticale sollecitante V	7455 daN
Azione orizzontale sollecitante H	594 daN
Eccentricità lungo B eb	0.12 m
Eccentricità lungo L el	0.41 m
Carico limite verticale di calcolo Q_{lim}	2.31 daN/cm2
Carico limite verticale di progetto Qd	1.01 daN/cm2
Coefficiente di sicurezza γ_v	2.300
Carico limite orizzontale di calcolo H_{lim}	3076 daN
Carico limite orizzontale di progetto Hd	2796 daN
Coefficiente di sicurezza γ_h	1.100
V=7455 daN ≤ Vd=21537 daN	**VERIFICATO**
H=594 daN ≤ Hd=2796 daN	**VERIFICATO**

Platea 1-(8+9)-VI-3

Geometria e terreno
La fondazione è rettangolare, la falda è assente.

Geometria fondazione

Base B	Lunghezza L	Eccentricità eb	Eccentricità el	Forza Fv	Forza Fh
m	m	m	m	daN	daN
1.79	2.20	0.12	0.41	7455	594

Parametri geotecnici

D	ε	ω	ϕ	c	G	γ_1	γ
m	°	°	°	daN/cm2	daN/cm2	t/m3	t/m3
1.30	0.00	0.00	22.42	0.00	79.15	1.45	1.60

Carico limite

La fondazione data è equivalente a una fondazione rettangolare di dimensioni B=1.55 m ed L=1.38 m. Si riportano di seguito i coefficienti correttivi.

N_q	N_c	N_γ
8.162	17.360	7.560
α_q	α_c	α_γ
1.000	1.000	1.000
β_q	β_c	β_γ
1.000	1.000	1.000
ξ_q	ξ_c	ξ_γ
0.885	0.869	0.815
ψ_q	ψ_c	ψ_γ
1.000	1.000	1.000
ζ_q	ζ_c	ζ_γ
1.366	1.417	0.645
zq	zc	zg
1.000	1.000	0.910
N'_q	N'_c	N'_γ
9.870	21.383	3.617

Di seguito si riporta una sintesi dei valori utilizzati per effettuare la verifica della fondazione.

Coeff. sismico Kh	0.078
Indice di rigidezza critico Ir_{crit}	32.469
Indice di rigidezza Ir	613.013
Azione verticale sollecitante V	7455 daN
Azione orizzontale sollecitante H	594 daN
Eccentricità lungo B eb	0.12 m
Eccentricità lungo L el	0.41 m
Carico limite verticale di calcolo Q_{lim}	2.31 daN/cm2
Carico limite verticale di progetto Qd	1.00 daN/cm2
Coefficiente di sicurezza γ_v	2.300
Carico limite orizzontale di calcolo H_{lim}	3076 daN
Carico limite orizzontale di progetto Hd	2796 daN
Coefficiente di sicurezza γ_h	1.100
V=7455 daN $\leq$ Vd=21534 daN	**VERIFICATO**
H=594 daN $\leq$ Hd=2796 daN	**VERIFICATO**

Platea 1-(8+9)-VI-4

Geometria e terreno

La fondazione è rettangolare, la falda è assente.

Geometria fondazione

Base B	Lunghezza L	Eccentricità eb	Eccentricità el	Forza Fv	Forza Fh
m	m	m	m	daN	daN

Base B	Lunghezza L	Eccentricità eb	Eccentricità el	Forza Fv	Forza Fh
1.79	2.20	0.12	0.41	7455	594

Parametri geotecnici

D	ε	ω	ϕ	c	G	γ_1	γ
m	°	°	°	daN/cm2	daN/cm2	t/m3	t/m3
1.30	0.00	0.00	22.42	0.00	79.15	1.45	1.60

Carico limite

La fondazione data è equivalente a una fondazione rettangolare di dimensioni B=1.55 m ed L=1.38 m. Si riportano di seguito i coefficienti correttivi.

N_q	N_c	N_γ
8.162	17.360	7.560
α_q	α_c	α_γ
1.000	1.000	1.000
β_q	β_c	β_γ
1.000	1.000	1.000
ξ_q	ξ_c	ξ_γ
0.885	0.869	0.815
ψ_q	ψ_c	ψ_γ
1.000	1.000	1.000
ζ_q	ζ_c	ζ_γ
1.366	1.417	0.645
zq	zc	zg
1.000	1.000	0.910
N'_q	N'_c	N'_γ
9.869	21.382	3.618

Di seguito si riporta una sintesi dei valori utilizzati per effettuare la verifica della fondazione.

Coeff. sismico Kh	0.078
Indice di rigidezza critico Ir_{crit}	32.467
Indice di rigidezza Ir	612.989
Azione verticale sollecitante V	7455 daN
Azione orizzontale sollecitante H	594 daN
Eccentricità lungo B eb	0.12 m
Eccentricità lungo L el	0.41 m
Carico limite verticale di calcolo Q_{lim}	2.31 daN/cm2
Carico limite verticale di progetto Qd	1.00 daN/cm2
Coefficiente di sicurezza γ_v	2.300
Carico limite orizzontale di calcolo H_{lim}	3076 daN
Carico limite orizzontale di progetto Hd	2796 daN
Coefficiente di sicurezza γ_h	1.100
V=7455 daN ≤ Vd=21535 daN	**VERIFICATO**
H=594 daN ≤ Hd=2796 daN	**VERIFICATO**

Platea 1-(8+9)-VII-1

Geometria e terreno

La fondazione è rettangolare, la falda è assente.

Geometria fondazione

Base B	Lunghezza L	Eccentricità eb	Eccentricità el	Forza Fv	Forza Fh
m	m	m	m	daN	daN
1.79	2.20	0.38	0.12	7455	615

Parametri geotecnici

D	ε	ω	ϕ	c	G	γ_1	γ
m	°	°	°	daN/cm2	daN/cm2	t/m3	t/m3
1.30	0.00	0.00	22.42	0.00	79.15	1.45	1.60

Carico limite
La fondazione data è equivalente a una fondazione rettangolare di dimensioni B=1.02 m ed L=1.95 m. Si riportano di seguito i coefficienti correttivi.

N_q	N_c	N_γ
8.162	17.360	7.560
α_q	α_c	α_γ
1.000	1.000	1.000
β_q	β_c	β_γ
1.000	1.000	1.000
ξ_q	ξ_c	ξ_γ
0.867	0.848	0.795
ψ_q	ψ_c	ψ_γ
1.000	1.000	1.000
ζ_q	ζ_c	ζ_γ
1.214	1.244	0.792
zq	zc	zg
1.000	1.000	0.910
N'_q	N'_c	N'_γ
8.593	18.326	4.336

Di seguito si riporta una sintesi dei valori utilizzati per effettuare la verifica della fondazione.

Coeff. sismico Kh	0.078
Indice di rigidezza critico Ir_{crit}	48.845
Indice di rigidezza Ir	710.905
Azione verticale sollecitante V	7455 daN
Azione orizzontale sollecitante H	615 daN
Eccentricità lungo B eb	0.38 m
Eccentricità lungo L el	0.12 m
Carico limite verticale di calcolo Q_{lim}	1.97 daN/cm2
Carico limite verticale di progetto Qd	0.86 daN/cm2
Coefficiente di sicurezza γ_v	2.300
Carico limite orizzontale di calcolo H_{lim}	3076 daN
Carico limite orizzontale di progetto Hd	2796 daN
Coefficiente di sicurezza γ_h	1.100
V=7455 daN ≤ Vd=17014 daN	**VERIFICATO**
H=615 daN ≤ Hd=2796 daN	**VERIFICATO**

Platea 1-(8+9)-VII-2

Geometria e terreno
La fondazione è rettangolare, la falda è assente.

Geometria fondazione

Base B	Lunghezza L	Eccentricità eb	Eccentricità el	Forza Fv	Forza Fh
m	m	m	m	daN	daN
1.79	2.20	0.38	0.12	7455	615

Parametri geotecnici

D	ε	ω	ϕ	c	G	γ_1	γ
m	°	°	°	daN/cm2	daN/cm2	t/m3	t/m3
1.30	0.00	0.00	22.42	0.00	79.15	1.45	1.60

Carico limite
La fondazione data è equivalente a una fondazione rettangolare di dimensioni B=1.02 m ed L=1.95 m. Si riportano di seguito i coefficienti correttivi.

N_q	N_c	N_γ
8.162	17.360	7.560
α_q	α_c	α_γ
1.000	1.000	1.000
β_q	β_c	β_γ
1.000	1.000	1.000
ξ_q	ξ_c	ξ_γ
0.867	0.848	0.795
ψ_q	ψ_c	ψ_γ
1.000	1.000	1.000
ζ_q	ζ_c	ζ_γ
1.214	1.244	0.792
zq	zc	zg
1.000	1.000	0.910
N'_q	N'_c	N'_γ
8.593	18.324	4.337

Di seguito si riporta una sintesi dei valori utilizzati per effettuare la verifica della fondazione.

Coeff. sismico Kh	0.078
Indice di rigidezza critico Ir_{crit}	48.853
Indice di rigidezza Ir	710.923
Azione verticale sollecitante V	7455 daN
Azione orizzontale sollecitante H	615 daN
Eccentricità lungo B eb	0.38 m
Eccentricità lungo L el	0.12 m
Carico limite verticale di calcolo Q_{lim}	1.97 daN/cm2
Carico limite verticale di progetto Qd	0.86 daN/cm2
Coefficiente di sicurezza γ_v	2.300
Carico limite orizzontale di calcolo H_{lim}	3076 daN
Carico limite orizzontale di progetto Hd	2796 daN
Coefficiente di sicurezza γ_h	1.100
V=7455 daN ≤ Vd=17018 daN	**VERIFICATO**
H=615 daN ≤ Hd=2796 daN	**VERIFICATO**

Platea 1-(8+9)-VII-3

Geometria e terreno
La fondazione è rettangolare, la falda è assente.

Geometria fondazione

Base B	Lunghezza L	Eccentricità eb	Eccentricità el	Forza Fv	Forza Fh
m	m	m	m	daN	daN
1.79	2.20	0.38	0.12	7455	615

Parametri geotecnici

D	ε	ω	ϕ	c	G	γ_1	γ
m	°	°	°	daN/cm2	daN/cm2	t/m3	t/m3
1.30	0.00	0.00	22.42	0.00	79.15	1.45	1.60

Carico limite
La fondazione data è equivalente a una fondazione rettangolare di dimensioni B=1.02 m ed L=1.95 m. Si riportano di seguito i coefficienti correttivi.

N_q	N_c	N_γ
8.162	17.360	7.560
α_q	α_c	α_γ
1.000	1.000	1.000
β_q	β_c	β_γ
1.000	1.000	1.000
ξ_q	ξ_c	ξ_γ
0.867	0.848	0.795
ψ_q	ψ_c	ψ_γ
1.000	1.000	1.000
ζ_q	ζ_c	ζ_γ
1.214	1.244	0.792
zq	zc	zg
1.000	1.000	0.910
N'_q	N'_c	N'_γ
8.593	18.325	4.337

Di seguito si riporta una sintesi dei valori utilizzati per effettuare la verifica della fondazione.

Coeff. sismico Kh	0.078
Indice di rigidezza critico Ir_{crit}	48.851
Indice di rigidezza Ir	710.923
Azione verticale sollecitante V	7455 daN
Azione orizzontale sollecitante H	615 daN
Eccentricità lungo B eb	0.38 m
Eccentricità lungo L el	0.12 m
Carico limite verticale di calcolo Q_{lim}	1.97 daN/cm2
Carico limite verticale di progetto Qd	0.86 daN/cm2
Coefficiente di sicurezza γ_v	2.300
Carico limite orizzontale di calcolo H_{lim}	3076 daN
Carico limite orizzontale di progetto Hd	2796 daN
Coefficiente di sicurezza γ_h	1.100
V=7455 daN ≤ Vd=17017 daN	**VERIFICATO**
H=615 daN ≤ Hd=2796 daN	**VERIFICATO**

Platea 1-(8+9)-VII-4

Geometria e terreno
La fondazione è rettangolare, la falda è assente.

Geometria fondazione

Base B	Lunghezza L	Eccentricità eb	Eccentricità el	Forza Fv	Forza Fh
m	m	m	m	daN	daN
1.79	2.20	0.38	0.12	7455	615

Parametri geotecnici

D	ε	ω	ϕ	c	G	γ_1	γ
m	°	°	°	daN/cm2	daN/cm2	t/m3	t/m3
1.30	0.00	0.00	22.42	0.00	79.15	1.45	1.60

Carico limite
La fondazione data è equivalente a una fondazione rettangolare di dimensioni B=1.02 m ed L=1.95 m. Si riportano di seguito i coefficienti correttivi.

N_q	N_c	N_γ
8.162	17.360	7.560
α_q	α_c	α_γ

1.000	1.000	1.000
β_q	β_c	β_γ
1.000	1.000	1.000
ξ_q	ξ_c	ξ_γ
0.867	0.848	0.795
ψ_q	ψ_c	ψ_γ
1.000	1.000	1.000
ζ_q	ζ_c	ζ_γ
1.214	1.244	0.792
zq	zc	zg
1.000	1.000	0.910
N'_q	N'_c	N'_γ
8.593	18.325	4.336

Di seguito si riporta una sintesi dei valori utilizzati per effettuare la verifica della fondazione.

Coeff. sismico Kh	0.078
Indice di rigidezza critico Ir_{crit}	48.846
Indice di rigidezza Ir	710.906
Azione verticale sollecitante V	7455 daN
Azione orizzontale sollecitante H	615 daN
Eccentricità lungo B eb	0.38 m
Eccentricità lungo L el	0.12 m
Carico limite verticale di calcolo Q_{lim}	1.97 daN/cm2
Carico limite verticale di progetto Qd	0.86 daN/cm2
Coefficiente di sicurezza γ_v	2.300
Carico limite orizzontale di calcolo H_{lim}	3076 daN
Carico limite orizzontale di progetto Hd	2796 daN
Coefficiente di sicurezza γ_h	1.100
V=7455 daN ≤ Vd=17015 daN	**VERIFICATO**
H=615 daN ≤ Hd=2796 daN	**VERIFICATO**

Platea 1-(8+9)-VIII-1

Geometria e terreno
La fondazione è rettangolare, la falda è assente.

Geometria fondazione

Base B	Lunghezza L	Eccentricità eb	Eccentricità el	Forza Fv	Forza Fh
m	m	m	m	daN	daN
1.79	2.20	0.12	0.41	7455	594

Parametri geotecnici

D	ε	ω	ϕ	c	G	γ_1	γ
m	°	°	°	daN/cm2	daN/cm2	t/m3	t/m3
1.30	0.00	0.00	22.42	0.00	79.15	1.45	1.60

Carico limite
La fondazione data è equivalente a una fondazione rettangolare di dimensioni B=1.55 m ed L=1.38 m. Si riportano di seguito i coefficienti correttivi.

N_q	N_c	N_γ
8.162	17.360	7.560
α_q	α_c	α_γ
1.000	1.000	1.000
β_q	β_c	β_γ
1.000	1.000	1.000
ξ_q	ξ_c	ξ_γ
0.885	0.869	0.815

ψ_q	ψ_c	ψ_γ
1.000	1.000	1.000
ζ_q	ζ_c	ζ_γ
1.366	1.417	0.645
zq	zc	zg
1.000	1.000	0.910
N'_q	N'_c	N'_γ
9.869	21.381	3.618

Di seguito si riporta una sintesi dei valori utilizzati per effettuare la verifica della fondazione.

Coeff. sismico Kh	0.078
Indice di rigidezza critico Ir_{crit}	32.463
Indice di rigidezza Ir	612.975
Azione verticale sollecitante V	7455 daN
Azione orizzontale sollecitante H	594 daN
Eccentricità lungo B eb	0.12 m
Eccentricità lungo L el	0.41 m
Carico limite verticale di calcolo Q_{lim}	2.31 daN/cm2
Carico limite verticale di progetto Qd	1.00 daN/cm2
Coefficiente di sicurezza γ_v	2.300
Carico limite orizzontale di calcolo H_{lim}	3076 daN
Carico limite orizzontale di progetto Hd	2796 daN
Coefficiente di sicurezza γ_h	1.100
V=7455 daN ≤ Vd=21535 daN	**VERIFICATO**
H=594 daN ≤ Hd=2796 daN	**VERIFICATO**

Platea 1-(8+9)-VIII-2

Geometria e terreno

La fondazione è rettangolare, la falda è assente.

Geometria fondazione

Base B	Lunghezza L	Eccentricità eb	Eccentricità el	Forza Fv	Forza Fh
m	m	m	m	daN	daN
1.79	2.20	0.12	0.41	7455	594

Parametri geotecnici

D	ε	ω	ϕ	c	G	γ_1	γ
m	°	°	°	daN/cm2	daN/cm2	t/m3	t/m3
1.30	0.00	0.00	22.42	0.00	79.15	1.45	1.60

Carico limite

La fondazione data è equivalente a una fondazione rettangolare di dimensioni B=1.55 m ed L=1.38 m. Si riportano di seguito i coefficienti correttivi.

N_q	N_c	N_γ
8.162	17.360	7.560
α_q	α_c	α_γ
1.000	1.000	1.000
β_q	β_c	β_γ
1.000	1.000	1.000
ξ_q	ξ_c	ξ_γ
0.885	0.869	0.815
ψ_q	ψ_c	ψ_γ
1.000	1.000	1.000
ζ_q	ζ_c	ζ_γ
1.366	1.417	0.645
zq	zc	zg

1.000	1.000	0.910
N'_q	N'_c	N'_γ
9.871	21.384	3.617

Di seguito si riporta una sintesi dei valori utilizzati per effettuare la verifica della fondazione.

Coeff. sismico Kh	0.078
Indice di rigidezza critico Ir_{crit}	32.474
Indice di rigidezza Ir	613.018
Azione verticale sollecitante V	7455 daN
Azione orizzontale sollecitante H	594 daN
Eccentricità lungo B eb	0.12 m
Eccentricità lungo L el	0.41 m
Carico limite verticale di calcolo Q_{lim}	2.31 daN/cm2
Carico limite verticale di progetto Qd	1.01 daN/cm2
Coefficiente di sicurezza γ_v	2.300
Carico limite orizzontale di calcolo H_{lim}	3076 daN
Carico limite orizzontale di progetto Hd	2796 daN
Coefficiente di sicurezza γ_h	1.100
V=7455 daN ≤ Vd=21537 daN	**VERIFICATO**
H=594 daN ≤ Hd=2796 daN	**VERIFICATO**

Platea 1-(8+9)-VIII-3

Geometria e terreno
La fondazione è rettangolare, la falda è assente.

Geometria fondazione

Base B	Lunghezza L	Eccentricità eb	Eccentricità el	Forza Fv	Forza Fh
m	m	m	m	daN	daN
1.79	2.20	0.12	0.41	7455	594

Parametri geotecnici

D	ε	ω	ϕ	c	G	γ_1	γ
m	°	°	°	daN/cm2	daN/cm2	t/m3	t/m3
1.30	0.00	0.00	22.42	0.00	79.15	1.45	1.60

Carico limite
La fondazione data è equivalente a una fondazione rettangolare di dimensioni B=1.55 m ed L=1.38 m. Si riportano di seguito i coefficienti correttivi.

N_q	N_c	N_γ
8.162	17.360	7.560
α_q	α_c	α_γ
1.000	1.000	1.000
β_q	β_c	β_γ
1.000	1.000	1.000
ξ_q	ξ_c	ξ_γ
0.885	0.869	0.815
ψ_q	ψ_c	ψ_γ
1.000	1.000	1.000
ζ_q	ζ_c	ζ_γ
1.366	1.417	0.645
zq	zc	zg
1.000	1.000	0.910
N'_q	N'_c	N'_γ
9.870	21.384	3.617

Di seguito si riporta una sintesi dei valori utilizzati per effettuare la verifica della fondazione.

Coeff. sismico Kh	0.078
Indice di rigidezza critico Ir_{crit}	32.471
Indice di rigidezza Ir	613.022
Azione verticale sollecitante V	7455 daN
Azione orizzontale sollecitante H	594 daN
Eccentricità lungo B eb	0.12 m
Eccentricità lungo L el	0.41 m
Carico limite verticale di calcolo Q_{lim}	2.31 daN/cm2
Carico limite verticale di progetto Qd	1.01 daN/cm2
Coefficiente di sicurezza γ_v	2.300
Carico limite orizzontale di calcolo H_{lim}	3076 daN
Carico limite orizzontale di progetto Hd	2796 daN
Coefficiente di sicurezza γ_h	1.100
V=7455 daN ≤ Vd=21534 daN	**VERIFICATO**
H=594 daN ≤ Hd=2796 daN	**VERIFICATO**

Platea 1-(8+9)-VIII-4

Geometria e terreno
La fondazione è rettangolare, la falda è assente.

Geometria fondazione

Base B	Lunghezza L	Eccentricità eb	Eccentricità el	Forza Fv	Forza Fh
m	m	m	m	daN	daN
1.79	2.20	0.12	0.41	7455	594

Parametri geotecnici

D	ε	ω	ϕ	c	G	γ_1	γ
m	°	°	°	daN/cm2	daN/cm2	t/m3	t/m3
1.30	0.00	0.00	22.42	0.00	79.15	1.45	1.60

Carico limite
La fondazione data è equivalente a una fondazione rettangolare di dimensioni B=1.55 m ed L=1.38 m. Si riportano di seguito i coefficienti correttivi.

N_q	N_c	N_γ
8.162	17.360	7.560
α_q	α_c	α_γ
1.000	1.000	1.000
β_q	β_c	β_γ
1.000	1.000	1.000
ξ_q	ξ_c	ξ_γ
0.885	0.869	0.815
ψ_q	ψ_c	ψ_γ
1.000	1.000	1.000
ζ_q	ζ_c	ζ_γ
1.366	1.417	0.645
zq	zc	zg
1.000	1.000	0.910
N'_q	N'_c	N'_γ
9.870	21.382	3.618

Di seguito si riporta una sintesi dei valori utilizzati per effettuare la verifica della fondazione.

Coeff. sismico Kh	0.078
Indice di rigidezza critico Ir_{crit}	32.467
Indice di rigidezza Ir	612.980
Azione verticale sollecitante V	7455 daN

Azione orizzontale sollecitante H	594 daN
Eccentricità lungo B eb	0.12 m
Eccentricità lungo L el	0.41 m
Carico limite verticale di calcolo Q_{lim}	2.31 daN/cm2
Carico limite verticale di progetto Qd	1.01 daN/cm2
Coefficiente di sicurezza γ_v	2.300
Carico limite orizzontale di calcolo H_{lim}	3076 daN
Carico limite orizzontale di progetto Hd	2796 daN
Coefficiente di sicurezza γ_h	1.100
V=7455 daN ≤ Vd=21538 daN	**VERIFICATO**
H=594 daN ≤ Hd=2796 daN	**VERIFICATO**

Risultati dell'analisi: Cedimenti

Combinazioni di carico
Scenario : Set_NT_SLV_SLD_A2_STR/GEO_2018
Combinazione n° 10: AD QVSolai
Tipo: SLE Rara
Spettro: n.a.
Fattore sisma: n.a
Angolo ingresso sisma [°]: n.a.
Kmod: 1.00

Condizione di carico	Fattore	Attiva	Massa	F.Massa
Peso Proprio	1	Si	n.a.	n.a.
QP Solai	1	Si	n.a.	n.a.
QFissi Solai	1	Si	n.a.	n.a.
QV Solai	1	Si	n.a.	n.a.
QV SolaiPsi0	1	No	n.a.	n.a.
QV SolaiPsi1	1	No	n.a.	n.a.
QV SolaiPsi2	1	No	n.a.	n.a.
Tamponamento	1	Si	n.a.	n.a.
Neve	0.5	Si	n.a.	n.a.
Vento X	0.6	Si	n.a.	n.a.
Vento Y	0.6	Si	n.a.	n.a.
Carichi termici	0.6	Si	n.a.	n.a.

Combinazione n° 11: AD Neve
Tipo: SLE Rara
Spettro: n.a.
Fattore sisma: n.a
Angolo ingresso sisma [°]: n.a.
Kmod: 1.00

Condizione di carico	Fattore	Attiva	Massa	F.Massa
Peso Proprio	1	Si	n.a.	n.a.
QP Solai	1	Si	n.a.	n.a.
QFissi Solai	1	Si	n.a.	n.a.
QV Solai	1	No	n.a.	n.a.
QV SolaiPsi0	1	Si	n.a.	n.a.
QV SolaiPsi1	1	No	n.a.	n.a.
QV SolaiPsi2	1	No	n.a.	n.a.
Tamponamento	1	Si	n.a.	n.a.
Neve	1	Si	n.a.	n.a.
Vento X	0.6	Si	n.a.	n.a.
Vento Y	1	No	n.a.	n.a.
Carichi termici	1	No	n.a.	n.a.

Combinazione n° 12: AD VentoX

Tipo: SLE Rara
Spettro: n.a.
Fattore sisma: n.a
Angolo ingresso sisma [°]: n.a.
Kmod: 1.00

Condizione di carico	Fattore	Attiva	Massa	F.Massa
Peso Proprio	1	Si	n.a.	n.a.
QP Solai	1	Si	n.a.	n.a.
QFissi Solai	1	Si	n.a.	n.a.
QV Solai	1	No	n.a.	n.a.
QV SolaiPsi0	1	Si	n.a.	n.a.
QV SolaiPsi1	1	No	n.a.	n.a.
QV SolaiPsi2	1	No	n.a.	n.a.
Tamponamento	1	Si	n.a.	n.a.
Neve	0.5	Si	n.a.	n.a.
Vento X	1	Si	n.a.	n.a.
Vento Y	0.6	Si	n.a.	n.a.
Carichi termici	0.6	Si	n.a.	n.a.

Combinazione n° 13: AD vento Y
Tipo: SLE Rara
Spettro: n.a.
Fattore sisma: n.a
Angolo ingresso sisma [°]: n.a.
Kmod: 1.00

Condizione di carico	Fattore	Attiva	Massa	F.Massa
Peso Proprio	1	Si	n.a.	n.a.
QP Solai	1	Si	n.a.	n.a.
QFissi Solai	1	Si	n.a.	n.a.
QV Solai	1	No	n.a.	n.a.
QV SolaiPsi0	1	Si	n.a.	n.a.
QV SolaiPsi1	1	No	n.a.	n.a.
QV SolaiPsi2	1	No	n.a.	n.a.
Tamponamento	1	Si	n.a.	n.a.
Neve	0.5	Si	n.a.	n.a.
Vento X	0.6	Si	n.a.	n.a.
Vento Y	1	Si	n.a.	n.a.
Carichi termici	0.6	Si	n.a.	n.a.

Combinazione n° 14: AD Termici
Tipo: SLE Rara
Spettro: n.a.
Fattore sisma: n.a
Angolo ingresso sisma [°]: n.a.
Kmod: 1.00

Condizione di carico	Fattore	Attiva	Massa	F.Massa
Peso Proprio	1	Si	n.a.	n.a.
QP Solai	1	Si	n.a.	n.a.
QFissi Solai	1	Si	n.a.	n.a.
QV Solai	1	No	n.a.	n.a.
QV SolaiPsi0	1	Si	n.a.	n.a.
QV SolaiPsi1	1	No	n.a.	n.a.
QV SolaiPsi2	1	No	n.a.	n.a.
Tamponamento	1	Si	n.a.	n.a.
Neve	0.5	Si	n.a.	n.a.
Vento X	0.6	Si	n.a.	n.a.
Vento Y	1	No	n.a.	n.a.
Carichi termici	1	Si	n.a.	n.a.

Combinazione n° 15: AD QVSolai
Tipo: SLE Freq.
Spettro: n.a.
Fattore sisma: n.a
Angolo ingresso sisma [°]: n.a.
Kmod: 1.00

Condizione di carico	Fattore	Attiva	Massa	F.Massa
Peso Proprio	1	Si	n.a.	n.a.
QP Solai	1	Si	n.a.	n.a.
QFissi Solai	1	Si	n.a.	n.a.
QV Solai	1	No	n.a.	n.a.
QV SolaiPsi0	1	No	n.a.	n.a.
QV SolaiPsi1	1	Si	n.a.	n.a.
QV SolaiPsi2	1	No	n.a.	n.a.
Tamponamento	1	Si	n.a.	n.a.
Neve	0.2	Si	n.a.	n.a.
Vento X	0.2	Si	n.a.	n.a.
Vento Y	1	No	n.a.	n.a.
Carichi termici	0.5	Si	n.a.	n.a.

Combinazione n° 16: AD VentoX
Tipo: SLE Freq.
Spettro: n.a.
Fattore sisma: n.a
Angolo ingresso sisma [°]: n.a.
Kmod: 1.00

Condizione di carico	Fattore	Attiva	Massa	F.Massa
Peso Proprio	1	Si	n.a.	n.a.
QP Solai	1	Si	n.a.	n.a.
QFissi Solai	1	Si	n.a.	n.a.
QV Solai	1	No	n.a.	n.a.
QV SolaiPsi0	1	No	n.a.	n.a.
QV SolaiPsi1	1	No	n.a.	n.a.
QV SolaiPsi2	1	Si	n.a.	n.a.
Tamponamento	1	Si	n.a.	n.a.
Neve	1	No	n.a.	n.a.
Vento X	0.5	Si	n.a.	n.a.
Vento Y	1	No	n.a.	n.a.
Carichi termici	0.5	Si	n.a.	n.a.

Combinazione n° 17: AD Vento Y
Tipo: SLE Freq.
Spettro: n.a.
Fattore sisma: n.a
Angolo ingresso sisma [°]: n.a.
Kmod: 1.00

Condizione di carico	Fattore	Attiva	Massa	F.Massa
Peso Proprio	1	Si	n.a.	n.a.
QP Solai	1	Si	n.a.	n.a.
QFissi Solai	1	Si	n.a.	n.a.
QV Solai	1	No	n.a.	n.a.
QV SolaiPsi0	1	No	n.a.	n.a.
QV SolaiPsi1	1	No	n.a.	n.a.
QV SolaiPsi2	1	Si	n.a.	n.a.
Tamponamento	1	Si	n.a.	n.a.
Neve	1	No	n.a.	n.a.
Vento X	1	No	n.a.	n.a.
Vento Y	0.5	Si	n.a.	n.a.
Carichi termici	0.5	Si	n.a.	n.a.

Combinazione n° 18: AD Termici
Tipo: SLE Freq.
Spettro: n.a.
Fattore sisma: n.a
Angolo ingresso sisma [°]: n.a.
Kmod: 1.00

Condizione di carico	Fattore	Attiva	Massa	F.Massa
Peso Proprio	1	Si	n.a.	n.a.
QP Solai	1	Si	n.a.	n.a.
QFissi Solai	1	Si	n.a.	n.a.
QV Solai	1	No	n.a.	n.a.
QV SolaiPsi0	1	No	n.a.	n.a.
QV SolaiPsi1	1	No	n.a.	n.a.
QV SolaiPsi2	1	Si	n.a.	n.a.
Tamponamento	1	Si	n.a.	n.a.
Neve	1	No	n.a.	n.a.
Vento X	0.2	Si	n.a.	n.a.
Vento Y	1	No	n.a.	n.a.
Carichi termici	0.6	Si	n.a.	n.a.

Combinazione n° 19: Quasi P1
Tipo: SLE Q.Perm.
Spettro: n.a.
Fattore sisma: n.a
Angolo ingresso sisma [°]: n.a.
Kmod: 1.00

Condizione di carico	Fattore	Attiva	Massa	F.Massa
Peso Proprio	1	Si	n.a.	n.a.
QP Solai	1	Si	n.a.	n.a.
QFissi Solai	1	Si	n.a.	n.a.
QV Solai	1	No	n.a.	n.a.
QV SolaiPsi0	1	No	n.a.	n.a.
QV SolaiPsi1	1	No	n.a.	n.a.
QV SolaiPsi2	1	Si	n.a.	n.a.
Tamponamento	1	Si	n.a.	n.a.
Neve	1	No	n.a.	n.a.
Vento X	1	No	n.a.	n.a.
Vento Y	1	No	n.a.	n.a.
Carichi termici	1	No	n.a.	n.a.

Combinazione n° 20: SISMAX_SLD
Tipo: Modale SLE
Spettro: SpettroNT_ 2018
Fattore sisma: 1.00
Angolo ingresso sisma [°]: 0
Kmod: 1.00

Condizione di carico	Fattore	Attiva	Massa	F.Massa
Peso Proprio	1	Si	Si	1
QP Solai	1	Si	Si	1
QFissi Solai	1	Si	Si	1
QV Solai	1	No	No	1
QV SolaiPsi0	1	No	No	1
QV SolaiPsi1	1	No	No	1
QV SolaiPsi2	1	Si	Si	1
Tamponamento	1	Si	Si	1
Neve	1	No	No	1
Vento X	1	No	No	1
Vento Y	1	No	No	1

Condizione di carico	Fattore	Attiva	Massa	F.Massa
Carichi termici	1	No	No	1

Combinazione n° 21: SISMAY_SLD
Tipo: Modale SLE
Spettro: SpettroNT_ 2018
Fattore sisma: 1.00
Angolo ingresso sisma [°]: 0
Kmod: 1.00

Condizione di carico	Fattore	Attiva	Massa	F.Massa
Peso Proprio	1	Si	Si	1
QP Solai	1	Si	Si	1
QFissi Solai	1	Si	Si	1
QV Solai	1	No	No	1
QV SolaiPsi0	1	No	No	1
QV SolaiPsi1	1	No	No	1
QV SolaiPsi2	1	Si	Si	1
Tamponamento	1	Si	Si	1
Neve	1	No	No	1
Vento X	1	No	No	1
Vento Y	1	No	No	1
Carichi termici	1	No	No	1

Platea 1-10

Geometria e terreno
La fondazione è rettangolare, la falda è assente.

Geometria fondazione

Base B	Lunghezza L	Eccentricità eb	Eccentricità el	Forza Fv	Forza Fh
m	m	m	m	daN	daN
1.79	2.20	0.33	0.33	7455	666

Parametri geotecnici

D	ε	ω	ϕ	c	G	γ_1	γ
m	°	°	°	daN/cm2	daN/cm2	t/m3	t/m3
1.30	0.00	0.00	22.42	0.00	79.15	1.45	1.60

Tempo a cui si calcola il cedimento 3 aa

N°	H	γ	N_{SPT}	F.Fine
	m	t/m3		
1	3.60	1.45	3.67	No
2	1.20	1.35	1.5	No
3	1.20	1.62	7.78	No
4	4.20	1.79	13.04	No

Si riportano di seguito i risultati ottenuti.

Profondità fondazione D_f 1.30 m
Carico totale q_{tot} 0.24 daN/cm2
Valore medio di N_{SPT} 3.670
Variazione di N_{SPT} con la profondità crescente
Profondità di influenza Z 2.93 m
Spessore deformabile H 11.50 m
C1 1.118

C2	1.000
C3	1.300
Ic	0.276
Tensione effettiva piano di posa σ_{eff}	0.19 daN/cm2
Cedimento W	5 mm

Platea 1-11

Geometria e terreno
La fondazione è rettangolare, la falda è assente.

Geometria fondazione

Base B	Lunghezza L	Eccentricità eb	Eccentricità el	Forza Fv	Forza Fh
m	m	m	m	daN	daN
1.79	2.20	0.33	0.00	7455	471

Parametri geotecnici

D	ε	ω	ϕ	c	G	γ_1	γ
m	°	°	°	daN/cm2	daN/cm2	t/m3	t/m3
1.30	0.00	0.00	22.42	0.00	79.15	1.45	1.60

Tempo a cui si calcola il cedimento 3 aa

N°	H	γ	N_{SPT}	F.Fine
	m	t/m3		
1	3.60	1.45	3.67	No
2	1.20	1.35	1.5	No
3	1.20	1.62	7.78	No
4	4.20	1.79	13.04	No

Si riportano di seguito i risultati ottenuti.

Profondità fondazione D_f	1.30 m
Carico totale q_{tot}	0.11 daN/cm2
Valore medio di N_{SPT}	3.670
Variazione di N_{SPT} con la profondità	crescente
Profondità di influenza Z	2.93 m
Spessore deformabile H	11.50 m
C1	1.229
C2	1.000
C3	1.300
Ic	0.276
Tensione effettiva piano di posa σ_{eff}	0.19 daN/cm2
Cedimento W	0 mm

Platea 1-12

Geometria e terreno
La fondazione è rettangolare, la falda è assente.

Geometria fondazione

Base B	Lunghezza L	Eccentricità eb	Eccentricità el	Forza Fv	Forza Fh
m	m	m	m	daN	daN
1.79	2.20	0.55	0.33	7455	915

Parametri geotecnici

D	ε	ω	ϕ	c	G	γ_1	γ
m	°	°	°	daN/cm2	daN/cm2	t/m3	t/m3
1.30	0.00	0.00	22.42	0.00	79.15	1.45	1.60

Tempo a cui si calcola il cedimento 3 aa

N°	H	γ	N_{SPT}	F.Fine
	m	t/m3		
1	3.60	1.45	3.67	No
2	1.20	1.35	1.5	No
3	1.20	1.62	7.78	No
4	4.20	1.79	13.04	No

Si riportano di seguito i risultati ottenuti.

Profondità fondazione D_f	1.30 m
Carico totale q_{tot}	0.53 daN/cm2
Valore medio di N_{SPT}	3.670
Variazione di N_{SPT} con la profondità	crescente
Profondità di influenza Z	2.93 m
Spessore deformabile H	11.50 m
C1	1.268
C2	1.000
C3	1.300
Ic	0.276
Tensione effettiva piano di posa σ_{eff}	0.19 daN/cm2
Cedimento W	14 mm

Platea 1-13

Geometria e terreno
La fondazione è rettangolare, la falda è assente.

Geometria fondazione

Base B	Lunghezza L	Eccentricità eb	Eccentricità el	Forza Fv	Forza Fh
m	m	m	m	daN	daN
1.79	2.20	0.33	0.55	7455	915

Parametri geotecnici

D	ε	ω	ϕ	c	G	γ_1	γ
m	°	°	°	daN/cm2	daN/cm2	t/m3	t/m3
1.30	0.00	0.00	22.42	0.00	79.15	1.45	1.60

Tempo a cui si calcola il cedimento 3 aa

N°	H	γ	N_{SPT}	F.Fine
	m	t/m3		
1	3.60	1.45	3.67	No
2	1.20	1.35	1.5	No
3	1.20	1.62	7.78	No
4	4.20	1.79	13.04	No

Si riportano di seguito i risultati ottenuti.

Profondità fondazione D_f	1.30 m

Carico totale q_{tot}	0.42 daN/cm2
Valore medio di N_{SPT}	3.670
Variazione di N_{SPT} con la profondità	crescente
Profondità di influenza Z	2.93 m
Spessore deformabile H	11.50 m
C1	0.991
C2	1.000
C3	1.300
Ic	0.276
Tensione effettiva piano di posa σ_{eff}	0.19 daN/cm2
Cedimento W	11 mm

Platea 1-14

Geometria e terreno
La fondazione è rettangolare, la falda è assente.

Geometria fondazione

Base B	Lunghezza L	Eccentricità eb	Eccentricità el	Forza Fv	Forza Fh
m	m	m	m	daN	daN
1.79	2.20	0.33	0.00	7455	471

Parametri geotecnici

D	ε	ω	ϕ	c	G	γ_1	γ
m	°	°	°	daN/cm2	daN/cm2	t/m3	t/m3
1.30	0.00	0.00	22.42	0.00	79.15	1.45	1.60

Tempo a cui si calcola il cedimento 3 aa

N°	H	γ	N_{SPT}	F.Fine
	m	t/m3		
1	3.60	1.45	3.67	No
2	1.20	1.35	1.5	No
3	1.20	1.62	7.78	No
4	4.20	1.79	13.04	No

Si riportano di seguito i risultati ottenuti.

Profondità fondazione D_f	1.30 m
Carico totale q_{tot}	0.11 daN/cm2
Valore medio di N_{SPT}	3.670
Variazione di N_{SPT} con la profondità	crescente
Profondità di influenza Z	2.93 m
Spessore deformabile H	11.50 m
C1	1.229
C2	1.000
C3	1.300
Ic	0.276
Tensione effettiva piano di posa σ_{eff}	0.19 daN/cm2
Cedimento W	0 mm

Platea 1-15

Geometria e terreno
La fondazione è rettangolare, la falda è assente.

Geometria fondazione

Base B	Lunghezza L	Eccentricità eb	Eccentricità el	Forza Fv	Forza Fh
m	m	m	m	daN	daN
1.79	2.20	0.11	0.00	7455	157

Parametri geotecnici

D	ε	ω	ϕ	c	G	γ_1	γ
m	°	°	°	daN/cm2	daN/cm2	t/m3	t/m3
1.30	0.00	0.00	22.42	0.00	79.15	1.45	1.60

Tempo a cui si calcola il cedimento 3 aa

N°	H	γ	N_{SPT}	F.Fine
	m	t/m3		
1	3.60	1.45	3.67	No
2	1.20	1.35	1.5	No
3	1.20	1.62	7.78	No
4	4.20	1.79	13.04	No

Si riportano di seguito i risultati ottenuti.

Profondità fondazione D_f	1.30 m
Carico totale q_{tot}	0.03 daN/cm2
Valore medio di N_{SPT}	3.670
Variazione di N_{SPT} con la profondità	crescente
Profondità di influenza Z	2.93 m
Spessore deformabile H	11.50 m
C1	1.127
C2	1.000
C3	1.300
Ic	0.276
Tensione effettiva piano di posa σ_{eff}	0.19 daN/cm2
Cedimento W	0 mm

Platea 1-16

Geometria e terreno
La fondazione è rettangolare, la falda è assente.

Geometria fondazione

Base B	Lunghezza L	Eccentricità eb	Eccentricità el	Forza Fv	Forza Fh
m	m	m	m	daN	daN
1.79	2.20	0.28	0.00	7455	392

Parametri geotecnici

D	ε	ω	ϕ	c	G	γ_1	γ
m	°	°	°	daN/cm2	daN/cm2	t/m3	t/m3
1.30	0.00	0.00	22.42	0.00	79.15	1.45	1.60

Tempo a cui si calcola il cedimento 3 aa

N°	H	γ	N_{SPT}	F.Fine
	m	t/m3		
1	3.60	1.45	3.67	No
2	1.20	1.35	1.5	No
3	1.20	1.62	7.78	No
4	4.20	1.79	13.04	No

Si riportano di seguito i risultati ottenuti.

Profondità fondazione D_f	1.30 m
Carico totale q_{tot}	0.09 daN/cm2
Valore medio di N_{SPT}	3.670
Variazione di N_{SPT} con la profondità	crescente
Profondità di influenza Z	2.93 m
Spessore deformabile H	11.50 m
C1	1.202
C2	1.000
C3	1.300
Ic	0.276
Tensione effettiva piano di posa σ_{eff}	0.19 daN/cm2
Cedimento W	0 mm

Platea 1-17

Geometria e terreno
La fondazione è rettangolare, la falda è assente.

Geometria fondazione

Base B	Lunghezza L	Eccentricità eb	Eccentricità el	Forza Fv	Forza Fh
m	m	m	m	daN	daN
1.79	2.20	0.00	0.28	7455	392

Parametri geotecnici

D	ε	ω	ϕ	c	G	γ_1	γ
m	°	°	°	daN/cm2	daN/cm2	t/m3	t/m3
1.30	0.00	0.00	22.42	0.00	79.15	1.45	1.60

Tempo a cui si calcola il cedimento 3 aa

N°	H	γ	N_{SPT}	F.Fine
	m	t/m3		
1	3.60	1.45	3.67	No
2	1.20	1.35	1.5	No
3	1.20	1.62	7.78	No
4	4.20	1.79	13.04	No

Si riportano di seguito i risultati ottenuti.

Profondità fondazione D_f	1.30 m
Carico totale q_{tot}	0.06 daN/cm2
Valore medio di N_{SPT}	3.670
Variazione di N_{SPT} con la profondità	crescente
Profondità di influenza Z	2.93 m
Spessore deformabile H	11.50 m
C1	0.967
C2	1.000
C3	1.300
Ic	0.276
Tensione effettiva piano di posa σ_{eff}	0.19 daN/cm2
Cedimento W	0 mm

Platea 1-18

Geometria e terreno
La fondazione è rettangolare, la falda è assente.

Geometria fondazione

Base B	Lunghezza L	Eccentricità eb	Eccentricità el	Forza Fv	Forza Fh
m	m	m	m	daN	daN
1.79	2.20	0.11	0.00	7455	157

Parametri geotecnici

D	ε	ω	ϕ	c	G	γ_1	γ
m	°	°	°	daN/cm2	daN/cm2	t/m3	t/m3
1.30	0.00	0.00	22.42	0.00	79.15	1.45	1.60

Tempo a cui si calcola il cedimento 3 aa

N°	H	γ	N_{SPT}	F.Fine
	m	t/m3		
1	3.60	1.45	3.67	No
2	1.20	1.35	1.5	No
3	1.20	1.62	7.78	No
4	4.20	1.79	13.04	No

Si riportano di seguito i risultati ottenuti.

Profondità fondazione D_f	1.30 m
Carico totale q_{tot}	0.03 daN/cm2
Valore medio di N_{SPT}	3.670
Variazione di N_{SPT} con la profondità	crescente
Profondità di influenza Z	2.93 m
Spessore deformabile H	11.50 m
C1	1.127
C2	1.000
C3	1.300
Ic	0.276
Tensione effettiva piano di posa σ_{eff}	0.19 daN/cm2
Cedimento W	0 mm

Platea 1-19

Geometria e terreno
La fondazione è rettangolare, la falda è assente.

Geometria fondazione

Base B	Lunghezza L	Eccentricità eb	Eccentricità el	Forza Fv	Forza Fh
m	m	m	m	daN	daN
1.79	2.20	0.00	0.00	7455	0

Parametri geotecnici

D	ε	ω	ϕ	c	G	γ_1	γ
m	°	°	°	daN/cm2	daN/cm2	t/m3	t/m3
1.30	0.00	0.00	22.42	0.00	79.15	1.45	1.60

Tempo a cui si calcola il cedimento 3 aa

N°	H	γ	N_{SPT}	F.Fine
	m	t/m3		
1	3.60	1.45	3.67	No
2	1.20	1.35	1.5	No
3	1.20	1.62	7.78	No
4	4.20	1.79	13.04	No

Si riportano di seguito i risultati ottenuti.

Profondità fondazione D_f	1.30 m
Carico totale q_{tot}	0.00 daN/cm2
Valore medio di N_{SPT}	3.670
Variazione di N_{SPT} con la profondità	crescente
Profondità di influenza Z	2.93 m
Spessore deformabile H	11.50 m
C1	1.080
C2	1.000
C3	1.300
Ic	0.276
Tensione effettiva piano di posa σ_{eff}	0.19 daN/cm2
Cedimento W	0 mm

Platea 1-(20+21)-I-1

Geometria e terreno
La fondazione è rettangolare, la falda è assente.

Geometria fondazione

Base B	Lunghezza L	Eccentricità eb	Eccentricità el	Forza Fv	Forza Fh
m	m	m	m	daN	daN
1.79	2.20	0.16	0.05	7455	258

Parametri geotecnici

D	ε	ω	ϕ	c	G	γ_1	γ
m	°	°	°	daN/cm2	daN/cm2	t/m3	t/m3
1.30	0.00	0.00	22.42	0.00	79.15	1.45	1.60

Tempo a cui si calcola il cedimento 3 aa

N°	H	γ	N_{SPT}	F.Fine
	m	t/m3		
1	3.60	1.45	3.67	No
2	1.20	1.35	1.5	No
3	1.20	1.62	7.78	No
4	4.20	1.79	13.04	No

Si riportano di seguito i risultati ottenuti.

Profondità fondazione D_f	1.30 m
Carico totale q_{tot}	0.05 daN/cm2
Valore medio di N_{SPT}	3.670
Variazione di N_{SPT} con la profondità	crescente
Profondità di influenza Z	2.93 m
Spessore deformabile H	11.50 m
C1	1.133
C2	1.000
C3	1.300
Ic	0.276

Tensione effettiva piano di posa σ_{eff} 0.19 daN/cm2
Cedimento W 0 mm

Platea 1-(20+21)-I-2

Geometria e terreno
La fondazione è rettangolare, la falda è assente.

Geometria fondazione

Base B	Lunghezza L	Eccentricità eb	Eccentricità el	Forza Fv	Forza Fh
m	m	m	m	daN	daN
1.79	2.20	0.16	0.05	7455	258

Parametri geotecnici

D	ε	ω	ϕ	c	G	γ_1	γ
m	°	°	°	daN/cm2	daN/cm2	t/m3	t/m3
1.30	0.00	0.00	22.42	0.00	79.15	1.45	1.60

Tempo a cui si calcola il cedimento 3 aa

N°	H	γ	N_{SPT}	F.Fine
	m	t/m3		
1	3.60	1.45	3.67	No
2	1.20	1.35	1.5	No
3	1.20	1.62	7.78	No
4	4.20	1.79	13.04	No

Si riportano di seguito i risultati ottenuti.

Profondità fondazione D_f 1.30 m
Carico totale q_{tot} 0.05 daN/cm2
Valore medio di N_{SPT} 3.670
Variazione di N_{SPT} con la profondità crescente
Profondità di influenza Z 2.93 m
Spessore deformabile H 11.50 m
C1 1.133
C2 1.000
C3 1.300
Ic 0.276
Tensione effettiva piano di posa σ_{eff} 0.19 daN/cm2
Cedimento W 0 mm

Platea 1-(20+21)-I-3

Geometria e terreno
La fondazione è rettangolare, la falda è assente.

Geometria fondazione

Base B	Lunghezza L	Eccentricità eb	Eccentricità el	Forza Fv	Forza Fh
m	m	m	m	daN	daN
1.79	2.20	0.16	0.05	7455	258

Parametri geotecnici

D	ε	ω	ϕ	c	G	γ_1	γ
m	°	°	°	daN/cm2	daN/cm2	t/m3	t/m3
1.30	0.00	0.00	22.42	0.00	79.15	1.45	1.60

Tempo a cui si calcola il cedimento 3 aa

N°	H	γ	N_{SPT}	F.Fine
	m	t/m3		
1	3.60	1.45	3.67	No
2	1.20	1.35	1.5	No
3	1.20	1.62	7.78	No
4	4.20	1.79	13.04	No

Si riportano di seguito i risultati ottenuti.

Profondità fondazione D_f	1.30 m
Carico totale q_{tot}	0.05 daN/cm2
Valore medio di N_{SPT}	3.670
Variazione di N_{SPT} con la profondità	crescente
Profondità di influenza Z	2.93 m
Spessore deformabile H	11.50 m
C1	1.133
C2	1.000
C3	1.300
Ic	0.276
Tensione effettiva piano di posa σ_{eff}	0.19 daN/cm2
Cedimento W	0 mm

Platea 1-(20+21)-I-4

Geometria e terreno
La fondazione è rettangolare, la falda è assente.

Geometria fondazione

Base B	Lunghezza L	Eccentricità eb	Eccentricità el	Forza Fv	Forza Fh
m	m	m	m	daN	daN
1.79	2.20	0.16	0.05	7455	258

Parametri geotecnici

D	ε	ω	ϕ	c	G	γ_1	γ
m	°	°	°	daN/cm2	daN/cm2	t/m3	t/m3
1.30	0.00	0.00	22.42	0.00	79.15	1.45	1.60

Tempo a cui si calcola il cedimento 3 aa

N°	H	γ	N_{SPT}	F.Fine
	m	t/m3		
1	3.60	1.45	3.67	No
2	1.20	1.35	1.5	No
3	1.20	1.62	7.78	No
4	4.20	1.79	13.04	No

Si riportano di seguito i risultati ottenuti.

Profondità fondazione D_f	1.30 m
Carico totale q_{tot}	0.05 daN/cm2
Valore medio di N_{SPT}	3.670
Variazione di N_{SPT} con la profondità	crescente
Profondità di influenza Z	2.93 m

Spessore deformabile H	11.50 m
C1	1.133
C2	1.000
C3	1.300
Ic	0.276
Tensione effettiva piano di posa σ_{eff}	0.19 daN/cm2
Cedimento W	0 mm

Platea 1-(20+21)-II-1

Geometria e terreno
La fondazione è rettangolare, la falda è assente.

Geometria fondazione

Base B	Lunghezza L	Eccentricità eb	Eccentricità el	Forza Fv	Forza Fh
m	m	m	m	daN	daN
1.79	2.20	0.05	0.17	7455	248

Parametri geotecnici

D	ε	ω	ϕ	c	G	γ_1	γ
m	°	°	°	daN/cm2	daN/cm2	t/m3	t/m3
1.30	0.00	0.00	22.42	0.00	79.15	1.45	1.60

Tempo a cui si calcola il cedimento 3 aa

N°	H	γ	N_{SPT}	F.Fine
	m	t/m3		
1	3.60	1.45	3.67	No
2	1.20	1.35	1.5	No
3	1.20	1.62	7.78	No
4	4.20	1.79	13.04	No

Si riportano di seguito i risultati ottenuti.

Profondità fondazione D_f	1.30 m
Carico totale q_{tot}	0.05 daN/cm2
Valore medio di N_{SPT}	3.670
Variazione di N_{SPT} con la profondità	crescente
Profondità di influenza Z	2.93 m
Spessore deformabile H	11.50 m
C1	1.037
C2	1.000
C3	1.300
Ic	0.276
Tensione effettiva piano di posa σ_{eff}	0.19 daN/cm2
Cedimento W	0 mm

Platea 1-(20+21)-II-2

Geometria e terreno
La fondazione è rettangolare, la falda è assente.

Geometria fondazione

Base B	Lunghezza L	Eccentricità eb	Eccentricità el	Forza Fv	Forza Fh
m	m	m	m	daN	daN
1.79	2.20	0.05	0.17	7455	248

Parametri geotecnici

D	ε	ω	ϕ	c	G	γ_1	γ
m	°	°	°	daN/cm2	daN/cm2	t/m3	t/m3
1.30	0.00	0.00	22.42	0.00	79.15	1.45	1.60

Tempo a cui si calcola il cedimento 3 aa

N°	H	γ	N_{SPT}	F.Fine
	m	t/m3		
1	3.60	1.45	3.67	No
2	1.20	1.35	1.5	No
3	1.20	1.62	7.78	No
4	4.20	1.79	13.04	No

Si riportano di seguito i risultati ottenuti.

Profondità fondazione D_f	1.30 m
Carico totale q_{tot}	0.05 daN/cm2
Valore medio di N_{SPT}	3.670
Variazione di N_{SPT} con la profondità	crescente
Profondità di influenza Z	2.93 m
Spessore deformabile H	11.50 m
C1	1.037
C2	1.000
C3	1.300
Ic	0.276
Tensione effettiva piano di posa σ_{eff}	0.19 daN/cm2
Cedimento W	0 mm

Platea 1-(20+21)-II-3

Geometria e terreno
La fondazione è rettangolare, la falda è assente.

Geometria fondazione

Base B	Lunghezza L	Eccentricità eb	Eccentricità el	Forza Fv	Forza Fh
m	m	m	m	daN	daN
1.79	2.20	0.05	0.17	7455	248

Parametri geotecnici

D	ε	ω	ϕ	c	G	γ_1	γ
m	°	°	°	daN/cm2	daN/cm2	t/m3	t/m3
1.30	0.00	0.00	22.42	0.00	79.15	1.45	1.60

Tempo a cui si calcola il cedimento 3 aa

N°	H	γ	N_{SPT}	F.Fine
	m	t/m3		
1	3.60	1.45	3.67	No
2	1.20	1.35	1.5	No
3	1.20	1.62	7.78	No
4	4.20	1.79	13.04	No

Si riportano di seguito i risultati ottenuti.

Profondità fondazione D_f	1.30 m
Carico totale q_{tot}	0.05 daN/cm2
Valore medio di N_{SPT}	3.670
Variazione di N_{SPT} con la profondità	crescente
Profondità di influenza Z	2.93 m
Spessore deformabile H	11.50 m
C1	1.037
C2	1.000
C3	1.300
Ic	0.276
Tensione effettiva piano di posa σ_{eff}	0.19 daN/cm2
Cedimento W	0 mm

Platea 1-(20+21)-II-4

Geometria e terreno
La fondazione è rettangolare, la falda è assente.

Geometria fondazione

Base B	Lunghezza L	Eccentricità eb	Eccentricità el	Forza Fv	Forza Fh
m	m	m	m	daN	daN
1.79	2.20	0.05	0.17	7455	248

Parametri geotecnici

D	ε	ω	ϕ	c	G	γ_1	γ
m	°	°	°	daN/cm2	daN/cm2	t/m3	t/m3
1.30	0.00	0.00	22.42	0.00	79.15	1.45	1.60

Tempo a cui si calcola il cedimento 3 aa

N°	H	γ	N_{SPT}	F.Fine
	m	t/m3		
1	3.60	1.45	3.67	No
2	1.20	1.35	1.5	No
3	1.20	1.62	7.78	No
4	4.20	1.79	13.04	No

Si riportano di seguito i risultati ottenuti.

Profondità fondazione D_f	1.30 m
Carico totale q_{tot}	0.05 daN/cm2
Valore medio di N_{SPT}	3.670
Variazione di N_{SPT} con la profondità	crescente
Profondità di influenza Z	2.93 m
Spessore deformabile H	11.50 m
C1	1.037
C2	1.000
C3	1.300
Ic	0.276
Tensione effettiva piano di posa σ_{eff}	0.19 daN/cm2
Cedimento W	0 mm

Platea 1-(20+21)-III-1

Geometria e terreno
La fondazione è rettangolare, la falda è assente.

Geometria fondazione

Base B	Lunghezza L	Eccentricità eb	Eccentricità el	Forza Fv	Forza Fh
m	m	m	m	daN	daN
1.79	2.20	0.16	0.05	7455	258

Parametri geotecnici

D	ε	ω	ϕ	c	G	γ_1	γ
m	°	°	°	daN/cm2	daN/cm2	t/m3	t/m3
1.30	0.00	0.00	22.42	0.00	79.15	1.45	1.60

Tempo a cui si calcola il cedimento 3 aa

N°	H	γ	N_{SPT}	F.Fine
	m	t/m3		
1	3.60	1.45	3.67	No
2	1.20	1.35	1.5	No
3	1.20	1.62	7.78	No
4	4.20	1.79	13.04	No

Si riportano di seguito i risultati ottenuti.

Profondità fondazione D_f	1.30 m
Carico totale q_{tot}	0.05 daN/cm2
Valore medio di N_{SPT}	3.670
Variazione di N_{SPT} con la profondità	crescente
Profondità di influenza Z	2.93 m
Spessore deformabile H	11.50 m
C1	1.133
C2	1.000
C3	1.300
Ic	0.276
Tensione effettiva piano di posa σ_{eff}	0.19 daN/cm2
Cedimento W	0 mm

Platea 1-(20+21)-III-2

Geometria e terreno
La fondazione è rettangolare, la falda è assente.

Geometria fondazione

Base B	Lunghezza L	Eccentricità eb	Eccentricità el	Forza Fv	Forza Fh
m	m	m	m	daN	daN
1.79	2.20	0.16	0.05	7455	258

Parametri geotecnici

D	ε	ω	ϕ	c	G	γ_1	γ
m	°	°	°	daN/cm2	daN/cm2	t/m3	t/m3
1.30	0.00	0.00	22.42	0.00	79.15	1.45	1.60

Tempo a cui si calcola il cedimento 3 aa

N°	H	γ	N_{SPT}	F.Fine
	m	t/m3		
1	3.60	1.45	3.67	No
2	1.20	1.35	1.5	No
3	1.20	1.62	7.78	No

N°	H	γ	N_{SPT}	F.Fine
4	4.20	1.79	13.04	No

Si riportano di seguito i risultati ottenuti.

Profondità fondazione D_f	1.30 m
Carico totale q_{tot}	0.05 daN/cm2
Valore medio di N_{SPT}	3.670
Variazione di N_{SPT} con la profondità	crescente
Profondità di influenza Z	2.93 m
Spessore deformabile H	11.50 m
C1	1.133
C2	1.000
C3	1.300
Ic	0.276
Tensione effettiva piano di posa σ_{eff}	0.19 daN/cm2
Cedimento W	0 mm

Platea 1-(20+21)-III-3

Geometria e terreno
La fondazione è rettangolare, la falda è assente.

Geometria fondazione

Base B	Lunghezza L	Eccentricità eb	Eccentricità el	Forza Fv	Forza Fh
m	m	m	m	daN	daN
1.79	2.20	0.16	0.05	7455	258

Parametri geotecnici

D	ε	ω	ϕ	c	G	γ_1	γ
m	°	°	°	daN/cm2	daN/cm2	t/m3	t/m3
1.30	0.00	0.00	22.42	0.00	79.15	1.45	1.60

Tempo a cui si calcola il cedimento 3 aa

N°	H	γ	N_{SPT}	F.Fine
	m	t/m3		
1	3.60	1.45	3.67	No
2	1.20	1.35	1.5	No
3	1.20	1.62	7.78	No
4	4.20	1.79	13.04	No

Si riportano di seguito i risultati ottenuti.

Profondità fondazione D_f	1.30 m
Carico totale q_{tot}	0.05 daN/cm2
Valore medio di N_{SPT}	3.670
Variazione di N_{SPT} con la profondità	crescente
Profondità di influenza Z	2.93 m
Spessore deformabile H	11.50 m
C1	1.133
C2	1.000
C3	1.300
Ic	0.276
Tensione effettiva piano di posa σ_{eff}	0.19 daN/cm2
Cedimento W	0 mm

Platea 1-(20+21)-III-4

Geometria e terreno
La fondazione è rettangolare, la falda è assente.

Geometria fondazione

Base B	Lunghezza L	Eccentricità eb	Eccentricità el	Forza Fv	Forza Fh
m	m	m	m	daN	daN
1.79	2.20	0.16	0.05	7455	258

Parametri geotecnici

D	ε	ω	ϕ	c	G	γ_1	γ
m	°	°	°	daN/cm2	daN/cm2	t/m3	t/m3
1.30	0.00	0.00	22.42	0.00	79.15	1.45	1.60

Tempo a cui si calcola il cedimento 3 aa

N°	H	γ	N_{SPT}	F.Fine
	m	t/m3		
1	3.60	1.45	3.67	No
2	1.20	1.35	1.5	No
3	1.20	1.62	7.78	No
4	4.20	1.79	13.04	No

Si riportano di seguito i risultati ottenuti.

Profondità fondazione D_f	1.30 m
Carico totale q_{tot}	0.05 daN/cm2
Valore medio di N_{SPT}	3.670
Variazione di N_{SPT} con la profondità	crescente
Profondità di influenza Z	2.93 m
Spessore deformabile H	11.50 m
C1	1.133
C2	1.000
C3	1.300
Ic	0.276
Tensione effettiva piano di posa σ_{eff}	0.19 daN/cm2
Cedimento W	0 mm

Platea 1-(20+21)-IV-1

Geometria e terreno
La fondazione è rettangolare, la falda è assente.

Geometria fondazione

Base B	Lunghezza L	Eccentricità eb	Eccentricità el	Forza Fv	Forza Fh
m	m	m	m	daN	daN
1.79	2.20	0.05	0.17	7455	248

Parametri geotecnici

D	ε	ω	ϕ	c	G	γ_1	γ
m	°	°	°	daN/cm2	daN/cm2	t/m3	t/m3
1.30	0.00	0.00	22.42	0.00	79.15	1.45	1.60

Tempo a cui si calcola il cedimento 3 aa

N°	H	γ	N_{SPT}	F.Fine
	m	t/m3		
1	3.60	1.45	3.67	No
2	1.20	1.35	1.5	No
3	1.20	1.62	7.78	No
4	4.20	1.79	13.04	No

Si riportano di seguito i risultati ottenuti.

Profondità fondazione D_f	1.30 m
Carico totale q_{tot}	0.05 daN/cm2
Valore medio di N_{SPT}	3.670
Variazione di N_{SPT} con la profondità	crescente
Profondità di influenza Z	2.93 m
Spessore deformabile H	11.50 m
C1	1.037
C2	1.000
C3	1.300
Ic	0.276
Tensione effettiva piano di posa σ_{eff}	0.19 daN/cm2
Cedimento W	0 mm

Platea 1-(20+21)-IV-2

Geometria e terreno
La fondazione è rettangolare, la falda è assente.

Geometria fondazione

Base B	Lunghezza L	Eccentricità eb	Eccentricità el	Forza Fv	Forza Fh
m	m	m	m	daN	daN
1.79	2.20	0.05	0.17	7455	248

Parametri geotecnici

D	ε	ω	ϕ	c	G	γ_1	γ
m	°	°	°	daN/cm2	daN/cm2	t/m3	t/m3
1.30	0.00	0.00	22.42	0.00	79.15	1.45	1.60

Tempo a cui si calcola il cedimento 3 aa

N°	H	γ	N_{SPT}	F.Fine
	m	t/m3		
1	3.60	1.45	3.67	No
2	1.20	1.35	1.5	No
3	1.20	1.62	7.78	No
4	4.20	1.79	13.04	No

Si riportano di seguito i risultati ottenuti.

Profondità fondazione D_f	1.30 m
Carico totale q_{tot}	0.05 daN/cm2
Valore medio di N_{SPT}	3.670
Variazione di N_{SPT} con la profondità	crescente
Profondità di influenza Z	2.93 m
Spessore deformabile H	11.50 m
C1	1.037
C2	1.000
C3	1.300
Ic	0.276

Tensione effettiva piano di posa σ_{eff} 0.19 daN/cm2
Cedimento W 0 mm

Platea 1-(20+21)-IV-3

Geometria e terreno
La fondazione è rettangolare, la falda è assente.

Geometria fondazione

Base B	Lunghezza L	Eccentricità eb	Eccentricità el	Forza Fv	Forza Fh
m	m	m	m	daN	daN
1.79	2.20	0.05	0.17	7455	248

Parametri geotecnici

D	ε	ω	ϕ	c	G	γ_1	γ
m	°	°	°	daN/cm2	daN/cm2	t/m3	t/m3
1.30	0.00	0.00	22.42	0.00	79.15	1.45	1.60

Tempo a cui si calcola il cedimento 3 aa

N°	H	γ	N_{SPT}	F.Fine
	m	t/m3		
1	3.60	1.45	3.67	No
2	1.20	1.35	1.5	No
3	1.20	1.62	7.78	No
4	4.20	1.79	13.04	No

Si riportano di seguito i risultati ottenuti.

Profondità fondazione D_f 1.30 m
Carico totale q_{tot} 0.05 daN/cm2
Valore medio di N_{SPT} 3.670
Variazione di N_{SPT} con la profondità crescente
Profondità di influenza Z 2.93 m
Spessore deformabile H 11.50 m
C1 1.037
C2 1.000
C3 1.300
Ic 0.276
Tensione effettiva piano di posa σ_{eff} 0.19 daN/cm2
Cedimento W 0 mm

Platea 1-(20+21)-IV-4

Geometria e terreno
La fondazione è rettangolare, la falda è assente.

Geometria fondazione

Base B	Lunghezza L	Eccentricità eb	Eccentricità el	Forza Fv	Forza Fh
m	m	m	m	daN	daN
1.79	2.20	0.05	0.17	7455	248

Parametri geotecnici

D	ε	ω	ϕ	c	G	γ_1	γ
m	°	°	°	daN/cm2	daN/cm2	t/m3	t/m3
1.30	0.00	0.00	22.42	0.00	79.15	1.45	1.60

Tempo a cui si calcola il cedimento 3 aa

N°	H	γ	N_{SPT}	F.Fine
	m	t/m3		
1	3.60	1.45	3.67	No
2	1.20	1.35	1.5	No
3	1.20	1.62	7.78	No
4	4.20	1.79	13.04	No

Si riportano di seguito i risultati ottenuti.

Profondità fondazione D_f	1.30 m
Carico totale q_{tot}	0.05 daN/cm2
Valore medio di N_{SPT}	3.670
Variazione di N_{SPT} con la profondità	crescente
Profondità di influenza Z	2.93 m
Spessore deformabile H	11.50 m
C1	1.037
C2	1.000
C3	1.300
Ic	0.276
Tensione effettiva piano di posa σ_{eff}	0.19 daN/cm2
Cedimento W	0 mm

Platea 1-(20+21)-V-1

Geometria e terreno
La fondazione è rettangolare, la falda è assente.

Geometria fondazione

Base B	Lunghezza L	Eccentricità eb	Eccentricità el	Forza Fv	Forza Fh
m	m	m	m	daN	daN
1.79	2.20	0.16	0.05	7455	259

Parametri geotecnici

D	ε	ω	ϕ	c	G	γ_1	γ
m	°	°	°	daN/cm2	daN/cm2	t/m3	t/m3
1.30	0.00	0.00	22.42	0.00	79.15	1.45	1.60

Tempo a cui si calcola il cedimento 3 aa

N°	H	γ	N_{SPT}	F.Fine
	m	t/m3		
1	3.60	1.45	3.67	No
2	1.20	1.35	1.5	No
3	1.20	1.62	7.78	No
4	4.20	1.79	13.04	No

Si riportano di seguito i risultati ottenuti.

Profondità fondazione D_f	1.30 m
Carico totale q_{tot}	0.05 daN/cm2
Valore medio di N_{SPT}	3.670
Variazione di N_{SPT} con la profondità	crescente
Profondità di influenza Z	2.93 m

Spessore deformabile H 11.50 m
C1 1.133
C2 1.000
C3 1.300
Ic 0.276
Tensione effettiva piano di posa σ_{eff} 0.19 daN/cm2
Cedimento W 0 mm

Platea 1-(20+21)-V-2

Geometria e terreno
La fondazione è rettangolare, la falda è assente.

Geometria fondazione

Base B	Lunghezza L	Eccentricità eb	Eccentricità el	Forza Fv	Forza Fh
m	m	m	m	daN	daN
1.79	2.20	0.16	0.05	7455	259

Parametri geotecnici

D	ε	ω	ϕ	c	G	γ_1	γ
m	°	°	°	daN/cm2	daN/cm2	t/m3	t/m3
1.30	0.00	0.00	22.42	0.00	79.15	1.45	1.60

Tempo a cui si calcola il cedimento 3 aa

N°	H	γ	N_{SPT}	F.Fine
	m	t/m3		
1	3.60	1.45	3.67	No
2	1.20	1.35	1.5	No
3	1.20	1.62	7.78	No
4	4.20	1.79	13.04	No

Si riportano di seguito i risultati ottenuti.

Profondità fondazione D_f 1.30 m
Carico totale q_{tot} 0.05 daN/cm2
Valore medio di N_{SPT} 3.670
Variazione di N_{SPT} con la profondità crescente
Profondità di influenza Z 2.93 m
Spessore deformabile H 11.50 m
C1 1.133
C2 1.000
C3 1.300
Ic 0.276
Tensione effettiva piano di posa σ_{eff} 0.19 daN/cm2
Cedimento W 0 mm

Platea 1-(20+21)-V-3

Geometria e terreno
La fondazione è rettangolare, la falda è assente.

Geometria fondazione

Base B	Lunghezza L	Eccentricità eb	Eccentricità el	Forza Fv	Forza Fh
m	m	m	m	daN	daN
1.79	2.20	0.16	0.05	7455	259

Parametri geotecnici

D	ε	ω	ϕ	c	G	γ_1	γ
m	°	°	°	daN/cm2	daN/cm2	t/m3	t/m3
1.30	0.00	0.00	22.42	0.00	79.15	1.45	1.60

Tempo a cui si calcola il cedimento 3 aa

N°	H	γ	N_{SPT}	F.Fine
	m	t/m3		
1	3.60	1.45	3.67	No
2	1.20	1.35	1.5	No
3	1.20	1.62	7.78	No
4	4.20	1.79	13.04	No

Si riportano di seguito i risultati ottenuti.

Profondità fondazione D_f	1.30 m
Carico totale q_{tot}	0.05 daN/cm2
Valore medio di N_{SPT}	3.670
Variazione di N_{SPT} con la profondità	crescente
Profondità di influenza Z	2.93 m
Spessore deformabile H	11.50 m
C1	1.133
C2	1.000
C3	1.300
Ic	0.276
Tensione effettiva piano di posa σ_{eff}	0.19 daN/cm2
Cedimento W	0 mm

Platea 1-(20+21)-V-4

Geometria e terreno
La fondazione è rettangolare, la falda è assente.

Geometria fondazione

Base B	Lunghezza L	Eccentricità eb	Eccentricità el	Forza Fv	Forza Fh
m	m	m	m	daN	daN
1.79	2.20	0.16	0.05	7455	259

Parametri geotecnici

D	ε	ω	ϕ	c	G	γ_1	γ
m	°	°	°	daN/cm2	daN/cm2	t/m3	t/m3
1.30	0.00	0.00	22.42	0.00	79.15	1.45	1.60

Tempo a cui si calcola il cedimento 3 aa

N°	H	γ	N_{SPT}	F.Fine
	m	t/m3		
1	3.60	1.45	3.67	No
2	1.20	1.35	1.5	No
3	1.20	1.62	7.78	No
4	4.20	1.79	13.04	No

Si riportano di seguito i risultati ottenuti.

Profondità fondazione D_f	1.30 m
Carico totale q_{tot}	0.05 daN/cm2
Valore medio di N_{SPT}	3.670
Variazione di N_{SPT} con la profondità	crescente
Profondità di influenza Z	2.93 m
Spessore deformabile H	11.50 m
C1	1.133
C2	1.000
C3	1.300
Ic	0.276
Tensione effettiva piano di posa σ_{eff}	0.19 daN/cm2
Cedimento W	0 mm

Platea 1-(20+21)-VI-1

Geometria e terreno
La fondazione è rettangolare, la falda è assente.

Geometria fondazione

Base B	Lunghezza L	Eccentricità eb	Eccentricità el	Forza Fv	Forza Fh
m	m	m	m	daN	daN
1.79	2.20	0.05	0.17	7455	248

Parametri geotecnici

D	ε	ω	ϕ	c	G	γ_1	γ
m	°	°	°	daN/cm2	daN/cm2	t/m3	t/m3
1.30	0.00	0.00	22.42	0.00	79.15	1.45	1.60

Tempo a cui si calcola il cedimento 3 aa

N°	H	γ	N_{SPT}	F.Fine
	m	t/m3		
1	3.60	1.45	3.67	No
2	1.20	1.35	1.5	No
3	1.20	1.62	7.78	No
4	4.20	1.79	13.04	No

Si riportano di seguito i risultati ottenuti.

Profondità fondazione D_f	1.30 m
Carico totale q_{tot}	0.05 daN/cm2
Valore medio di N_{SPT}	3.670
Variazione di N_{SPT} con la profondità	crescente
Profondità di influenza Z	2.93 m
Spessore deformabile H	11.50 m
C1	1.037
C2	1.000
C3	1.300
Ic	0.276
Tensione effettiva piano di posa σ_{eff}	0.19 daN/cm2
Cedimento W	0 mm

Platea 1-(20+21)-VI-2

Geometria e terreno
La fondazione è rettangolare, la falda è assente.

Geometria fondazione

Base B	Lunghezza L	Eccentricità eb	Eccentricità el	Forza Fv	Forza Fh
m	m	m	m	daN	daN
1.79	2.20	0.05	0.17	7455	248

Parametri geotecnici

D	ε	ω	ϕ	c	G	γ_1	γ
m	°	°	°	daN/cm2	daN/cm2	t/m3	t/m3
1.30	0.00	0.00	22.42	0.00	79.15	1.45	1.60

Tempo a cui si calcola il cedimento 3 aa

N°	H	γ	N_{SPT}	F.Fine
	m	t/m3		
1	3.60	1.45	3.67	No
2	1.20	1.35	1.5	No
3	1.20	1.62	7.78	No
4	4.20	1.79	13.04	No

Si riportano di seguito i risultati ottenuti.

Profondità fondazione D_f	1.30 m
Carico totale q_{tot}	0.05 daN/cm2
Valore medio di N_{SPT}	3.670
Variazione di N_{SPT} con la profondità	crescente
Profondità di influenza Z	2.93 m
Spessore deformabile H	11.50 m
C1	1.037
C2	1.000
C3	1.300
Ic	0.276
Tensione effettiva piano di posa σ_{eff}	0.19 daN/cm2
Cedimento W	0 mm

Platea 1-(20+21)-VI-3

Geometria e terreno
La fondazione è rettangolare, la falda è assente.

Geometria fondazione

Base B	Lunghezza L	Eccentricità eb	Eccentricità el	Forza Fv	Forza Fh
m	m	m	m	daN	daN
1.79	2.20	0.05	0.17	7455	248

Parametri geotecnici

D	ε	ω	ϕ	c	G	γ_1	γ
m	°	°	°	daN/cm2	daN/cm2	t/m3	t/m3
1.30	0.00	0.00	22.42	0.00	79.15	1.45	1.60

Tempo a cui si calcola il cedimento 3 aa

N°	H	γ	N_{SPT}	F.Fine
	m	t/m3		
1	3.60	1.45	3.67	No
2	1.20	1.35	1.5	No
3	1.20	1.62	7.78	No

N°	H	γ	N_{SPT}	F.Fine
4	4.20	1.79	13.04	No

Si riportano di seguito i risultati ottenuti.

Profondità fondazione D_f	1.30 m
Carico totale q_{tot}	0.05 daN/cm2
Valore medio di N_{SPT}	3.670
Variazione di N_{SPT} con la profondità	crescente
Profondità di influenza Z	2.93 m
Spessore deformabile H	11.50 m
C1	1.037
C2	1.000
C3	1.300
Ic	0.276
Tensione effettiva piano di posa σ_{eff}	0.19 daN/cm2
Cedimento W	0 mm

Platea 1-(20+21)-VI-4

Geometria e terreno
La fondazione è rettangolare, la falda è assente.

Geometria fondazione

Base B	Lunghezza L	Eccentricità eb	Eccentricità el	Forza Fv	Forza Fh
m	m	m	m	daN	daN
1.79	2.20	0.05	0.17	7455	248

Parametri geotecnici

D	ε	ω	ϕ	c	G	γ_1	γ
m	°	°	°	daN/cm2	daN/cm2	t/m3	t/m3
1.30	0.00	0.00	22.42	0.00	79.15	1.45	1.60

Tempo a cui si calcola il cedimento 3 aa

N°	H	γ	N_{SPT}	F.Fine
	m	t/m3		
1	3.60	1.45	3.67	No
2	1.20	1.35	1.5	No
3	1.20	1.62	7.78	No
4	4.20	1.79	13.04	No

Si riportano di seguito i risultati ottenuti.

Profondità fondazione D_f	1.30 m
Carico totale q_{tot}	0.05 daN/cm2
Valore medio di N_{SPT}	3.670
Variazione di N_{SPT} con la profondità	crescente
Profondità di influenza Z	2.93 m
Spessore deformabile H	11.50 m
C1	1.037
C2	1.000
C3	1.300
Ic	0.276
Tensione effettiva piano di posa σ_{eff}	0.19 daN/cm2
Cedimento W	0 mm

Platea 1-(20+21)-VII-1

Geometria e terreno
La fondazione è rettangolare, la falda è assente.

Geometria fondazione

Base B	Lunghezza L	Eccentricità eb	Eccentricità el	Forza Fv	Forza Fh
m	m	m	m	daN	daN
1.79	2.20	0.16	0.05	7455	259

Parametri geotecnici

D	ε	ω	ϕ	c	G	γ_1	γ
m	°	°	°	daN/cm2	daN/cm2	t/m3	t/m3
1.30	0.00	0.00	22.42	0.00	79.15	1.45	1.60

Tempo a cui si calcola il cedimento 3 aa

N°	H	γ	N_{SPT}	F.Fine
	m	t/m3		
1	3.60	1.45	3.67	No
2	1.20	1.35	1.5	No
3	1.20	1.62	7.78	No
4	4.20	1.79	13.04	No

Si riportano di seguito i risultati ottenuti.

Profondità fondazione D_f	1.30 m
Carico totale q_{tot}	0.05 daN/cm2
Valore medio di N_{SPT}	3.670
Variazione di N_{SPT} con la profondità	crescente
Profondità di influenza Z	2.93 m
Spessore deformabile H	11.50 m
C1	1.133
C2	1.000
C3	1.300
Ic	0.276
Tensione effettiva piano di posa σ_{eff}	0.19 daN/cm2
Cedimento W	0 mm

Platea 1-(20+21)-VII-2

Geometria e terreno
La fondazione è rettangolare, la falda è assente.

Geometria fondazione

Base B	Lunghezza L	Eccentricità eb	Eccentricità el	Forza Fv	Forza Fh
m	m	m	m	daN	daN
1.79	2.20	0.16	0.05	7455	259

Parametri geotecnici

D	ε	ω	ϕ	c	G	γ_1	γ
m	°	°	°	daN/cm2	daN/cm2	t/m3	t/m3
1.30	0.00	0.00	22.42	0.00	79.15	1.45	1.60

Tempo a cui si calcola il cedimento 3 aa

N°	H	γ	N_{SPT}	F.Fine
	m	t/m3		
1	3.60	1.45	3.67	No
2	1.20	1.35	1.5	No
3	1.20	1.62	7.78	No
4	4.20	1.79	13.04	No

Si riportano di seguito i risultati ottenuti.

Profondità fondazione D_f	1.30 m
Carico totale q_{tot}	0.05 daN/cm2
Valore medio di N_{SPT}	3.670
Variazione di N_{SPT} con la profondità	crescente
Profondità di influenza Z	2.93 m
Spessore deformabile H	11.50 m
C1	1.133
C2	1.000
C3	1.300
Ic	0.276
Tensione effettiva piano di posa σ_{eff}	0.19 daN/cm2
Cedimento W	0 mm

Platea 1-(20+21)-VII-3

Geometria e terreno
La fondazione è rettangolare, la falda è assente.

Geometria fondazione

Base B	Lunghezza L	Eccentricità eb	Eccentricità el	Forza Fv	Forza Fh
m	m	m	m	daN	daN
1.79	2.20	0.16	0.05	7455	259

Parametri geotecnici

D	ε	ω	ϕ	c	G	γ_1	γ
m	°	°	°	daN/cm2	daN/cm2	t/m3	t/m3
1.30	0.00	0.00	22.42	0.00	79.15	1.45	1.60

Tempo a cui si calcola il cedimento 3 aa

N°	H	γ	N_{SPT}	F.Fine
	m	t/m3		
1	3.60	1.45	3.67	No
2	1.20	1.35	1.5	No
3	1.20	1.62	7.78	No
4	4.20	1.79	13.04	No

Si riportano di seguito i risultati ottenuti.

Profondità fondazione D_f	1.30 m
Carico totale q_{tot}	0.05 daN/cm2
Valore medio di N_{SPT}	3.670
Variazione di N_{SPT} con la profondità	crescente
Profondità di influenza Z	2.93 m
Spessore deformabile H	11.50 m
C1	1.133
C2	1.000
C3	1.300
Ic	0.276

Tensione effettiva piano di posa σ_{eff} 0.19 daN/cm2
Cedimento W 0 mm

Platea 1-(20+21)-VII-4

Geometria e terreno
La fondazione è rettangolare, la falda è assente.

Geometria fondazione

Base B	Lunghezza L	Eccentricità eb	Eccentricità el	Forza Fv	Forza Fh
m	m	m	m	daN	daN
1.79	2.20	0.16	0.05	7455	259

Parametri geotecnici

D	ε	ω	ϕ	c	G	γ_1	γ
m	°	°	°	daN/cm2	daN/cm2	t/m3	t/m3
1.30	0.00	0.00	22.42	0.00	79.15	1.45	1.60

Tempo a cui si calcola il cedimento 3 aa

N°	H	γ	N_{SPT}	F.Fine
	m	t/m3		
1	3.60	1.45	3.67	No
2	1.20	1.35	1.5	No
3	1.20	1.62	7.78	No
4	4.20	1.79	13.04	No

Si riportano di seguito i risultati ottenuti.

Profondità fondazione D_f 1.30 m
Carico totale q_{tot} 0.05 daN/cm2
Valore medio di N_{SPT} 3.670
Variazione di N_{SPT} con la profondità crescente
Profondità di influenza Z 2.93 m
Spessore deformabile H 11.50 m
C1 1.133
C2 1.000
C3 1.300
Ic 0.276
Tensione effettiva piano di posa σ_{eff} 0.19 daN/cm2
Cedimento W 0 mm

Platea 1-(20+21)-VIII-1

Geometria e terreno
La fondazione è rettangolare, la falda è assente.

Geometria fondazione

Base B	Lunghezza L	Eccentricità eb	Eccentricità el	Forza Fv	Forza Fh
m	m	m	m	daN	daN
1.79	2.20	0.05	0.17	7455	248

Parametri geotecnici

D	ε	ω	ϕ	c	G	γ_1	γ
m	°	°	°	daN/cm2	daN/cm2	t/m3	t/m3
1.30	0.00	0.00	22.42	0.00	79.15	1.45	1.60

Tempo a cui si calcola il cedimento 3 aa

N°	H	γ	N_{SPT}	F.Fine
	m	t/m3		
1	3.60	1.45	3.67	No
2	1.20	1.35	1.5	No
3	1.20	1.62	7.78	No
4	4.20	1.79	13.04	No

Si riportano di seguito i risultati ottenuti.

Profondità fondazione D_f	1.30 m
Carico totale q_{tot}	0.05 daN/cm2
Valore medio di N_{SPT}	3.670
Variazione di N_{SPT} con la profondità	crescente
Profondità di influenza Z	2.93 m
Spessore deformabile H	11.50 m
C1	1.037
C2	1.000
C3	1.300
Ic	0.276
Tensione effettiva piano di posa σ_{eff}	0.19 daN/cm2
Cedimento W	0 mm

Platea 1-(20+21)-VIII-2

Geometria e terreno
La fondazione è rettangolare, la falda è assente.

Geometria fondazione

Base B	Lunghezza L	Eccentricità eb	Eccentricità el	Forza Fv	Forza Fh
m	m	m	m	daN	daN
1.79	2.20	0.05	0.17	7455	248

Parametri geotecnici

D	ε	ω	ϕ	c	G	γ_1	γ
m	°	°	°	daN/cm2	daN/cm2	t/m3	t/m3
1.30	0.00	0.00	22.42	0.00	79.15	1.45	1.60

Tempo a cui si calcola il cedimento 3 aa

N°	H	γ	N_{SPT}	F.Fine
	m	t/m3		
1	3.60	1.45	3.67	No
2	1.20	1.35	1.5	No
3	1.20	1.62	7.78	No
4	4.20	1.79	13.04	No

Si riportano di seguito i risultati ottenuti.

Profondità fondazione D_f	1.30 m
Carico totale q_{tot}	0.05 daN/cm2
Valore medio di N_{SPT}	3.670
Variazione di N_{SPT} con la profondità	crescente
Profondità di influenza Z	2.93 m

Spessore deformabile H 11.50 m
C1 1.037
C2 1.000
C3 1.300
Ic 0.276
Tensione effettiva piano di posa σ_{eff} 0.19 daN/cm2
Cedimento W 0 mm

Platea 1-(20+21)-VIII-3

Geometria e terreno
La fondazione è rettangolare, la falda è assente.

Geometria fondazione

Base B	Lunghezza L	Eccentricità eb	Eccentricità el	Forza Fv	Forza Fh
m	m	m	m	daN	daN
1.79	2.20	0.05	0.17	7455	248

Parametri geotecnici

D	ε	ω	ϕ	c	G	γ_1	γ
m	°	°	°	daN/cm2	daN/cm2	t/m3	t/m3
1.30	0.00	0.00	22.42	0.00	79.15	1.45	1.60

Tempo a cui si calcola il cedimento 3 aa

N°	H	γ	N_{SPT}	F.Fine
	m	t/m3		
1	3.60	1.45	3.67	No
2	1.20	1.35	1.5	No
3	1.20	1.62	7.78	No
4	4.20	1.79	13.04	No

Si riportano di seguito i risultati ottenuti.

Profondità fondazione D_f 1.30 m
Carico totale q_{tot} 0.05 daN/cm2
Valore medio di N_{SPT} 3.670
Variazione di N_{SPT} con la profondità crescente
Profondità di influenza Z 2.93 m
Spessore deformabile H 11.50 m
C1 1.037
C2 1.000
C3 1.300
Ic 0.276
Tensione effettiva piano di posa σ_{eff} 0.19 daN/cm2
Cedimento W 0 mm

Platea 1-(20+21)-VIII-4

Geometria e terreno
La fondazione è rettangolare, la falda è assente.

Geometria fondazione

Base B	Lunghezza L	Eccentricità eb	Eccentricità el	Forza Fv	Forza Fh
m	m	m	m	daN	daN
1.79	2.20	0.05	0.17	7455	248

Parametri geotecnici

D	ε	ω	ϕ	c	G	γ_1	γ
m	°	°	°	daN/cm2	daN/cm2	t/m3	t/m3
1.30	0.00	0.00	22.42	0.00	79.15	1.45	1.60

Tempo a cui si calcola il cedimento 3 aa

N°	H	γ	N_{SPT}	F.Fine
	m	t/m3		
1	3.60	1.45	3.67	No
2	1.20	1.35	1.5	No
3	1.20	1.62	7.78	No
4	4.20	1.79	13.04	No

Si riportano di seguito i risultati ottenuti.

Profondità fondazione D_f	1.30 m
Carico totale q_{tot}	0.05 daN/cm2
Valore medio di N_{SPT}	3.670
Variazione di N_{SPT} con la profondità	crescente
Profondità di influenza Z	2.93 m
Spessore deformabile H	11.50 m
C1	1.037
C2	1.000
C3	1.300
Ic	0.276
Tensione effettiva piano di posa σ_{eff}	0.19 daN/cm2
Cedimento W	0 mm

Riepilogo Carico Limite

Elm. Indice elemento
Comb. Combinazione di verifica
V Azione complessiva verticale
Vd Azione di progetto (ammissibile) verticale
CsV Coefficiente di sicurezza verticale CsV=V/(Qlim*Area)
H Azione complessiva orizzontale
Hd Azione di progetto (ammissibile) orizzontale
CsH Coefficiente di sicurezza orizzontale CsH=V/Hlim
Qd Carico di progetto Qd=Qlim/(CsV Ammissibile)

Elm.	Combinazione	V	Vd	CsV (>2.30)	H	Hd	CsH (>1.10)	Qd
		daN	daN		daN	daN		daN/cm2
1	2	9692	27248	6.5	706	3635	5.7	1.06
	3	9692	19722	4.7	706	3635	5.7	0.88
	4	9692	27248	6.5	706	3635	5.7	1.06
	5	9692	15815	3.8	1177	3635	3.4	0.96
	6	9692	15815	3.8	1177	3635	3.4	0.96
	7	9692	27248	6.5	706	3635	5.7	1.06
	(8+9)-I-1	7455	17043	5.3	614	2796	5.0	0.86
	(8+9)-I-2	7455	17045	5.3	614	2796	5.0	0.86
	(8+9)-I-3	7455	17043	5.3	614	2796	5.0	0.86
	(8+9)-I-4	7455	17044	5.3	614	2796	5.0	0.86
	(8+9)-II-1	7455	21539	6.6	593	2796	5.2	1.01
	(8+9)-II-2	7455	21540	6.6	594	2796	5.2	1.01
	(8+9)-II-3	7455	21537	6.6	594	2796	5.2	1.01
	(8+9)-II-4	7455	21542	6.6	593	2796	5.2	1.01
	(8+9)-III-1	7455	17043	5.3	614	2796	5.0	0.86
	(8+9)-III-2	7455	17044	5.3	614	2796	5.0	0.86

Elm.	Combinazione	V	Vd	CsV (>2.30)	H	Hd	CsH (>1.10)	Qd
	(8+9)-III-3	7455	17043	5.3	614	2796	5.0	0.86
	(8+9)-III-4	7455	17045	5.3	614	2796	5.0	0.86
	(8+9)-IV-1	7455	21541	6.6	593	2796	5.2	1.01
	(8+9)-IV-2	7455	21541	6.6	593	2796	5.2	1.01
	(8+9)-IV-3	7455	21538	6.6	593	2796	5.2	1.01
	(8+9)-IV-4	7455	21544	6.6	593	2796	5.2	1.01
	(8+9)-V-1	7455	17013	5.2	615	2796	5.0	0.86
	(8+9)-V-2	7455	17019	5.3	615	2796	5.0	0.86
	(8+9)-V-3	7455	17017	5.2	615	2796	5.0	0.86
	(8+9)-V-4	7455	17015	5.2	615	2796	5.0	0.86
	(8+9)-VI-1	7455	21533	6.6	594	2796	5.2	1.00
	(8+9)-VI-2	7455	21537	6.6	594	2796	5.2	1.01
	(8+9)-VI-3	7455	21534	6.6	594	2796	5.2	1.00
	(8+9)-VI-4	7455	21535	6.6	594	2796	5.2	1.00
	(8+9)-VII-1	7455	17014	5.2	615	2796	5.0	0.86
	(8+9)-VII-2	7455	17018	5.3	615	2796	5.0	0.86
	(8+9)-VII-3	7455	17017	5.2	615	2796	5.0	0.86
	(8+9)-VII-4	7455	17015	5.2	615	2796	5.0	0.86
	(8+9)-VIII-1	7455	21535	6.6	594	2796	5.2	1.00
	(8+9)-VIII-2	7455	21537	6.6	594	2796	5.2	1.01
	(8+9)-VIII-3	7455	21534	6.6	594	2796	5.2	1.01
	(8+9)-VIII-4	7455	21538	6.6	594	2796	5.2	1.01
Minimi coeff. sic.								
1	5			3.8				
1	6						3.4	

Riepilogo Cedimenti

Elm. Indice elemento
Comb. Combinazione di verifica
V Azione complessiva verticale
q_e Carico effettivo sull'area compressa
W_{Ed} Cedimento edometrico per terreni coesivi
W_{Cons} Aliquota di cedimento di consolidazione per terreni coesivi e misti
W_{Imm} Aliquota di cedimento immediato per terreni coesivi e misti
W_{Inco} Aliquota di cedimento incoerente per terreno incoerente e misto
W Cedimento complessivo

Elm.	Comb.	V	q_e	W_{Ed}	W_{Cons}	W_{Imm}	W_{Inco}	W
		daN	daN/cm2	mm	mm	mm	mm	mm
1	10	7455	0.24	--	--	--	5	5
	11	7455	0.11	--	--	--	0	0
	12	7455	0.53	--	--	--	14	14
	13	7455	0.42	--	--	--	11	11
	14	7455	0.11	--	--	--	0	0
	15	7455	0.03	--	--	--	0	0
	16	7455	0.09	--	--	--	0	0
	17	7455	0.06	--	--	--	0	0
	18	7455	0.03	--	--	--	0	0
	19	7455	0.00	--	--	--	0	0
	(20+21)-I-1	7455	0.05	--	--	--	0	0
	(20+21)-I-2	7455	0.05	--	--	--	0	0
	(20+21)-I-3	7455	0.05	--	--	--	0	0
	(20+21)-I-4	7455	0.05	--	--	--	0	0
	(20+21)-II-1	7455	0.05	--	--	--	0	0
	(20+21)-II-2	7455	0.05	--	--	--	0	0
	(20+21)-II-3	7455	0.05	--	--	--	0	0
	(20+21)-II-4	7455	0.05	--	--	--	0	0
	(20+21)-III-1	7455	0.05	--	--	--	0	0
	(20+21)-III-2	7455	0.05	--	--	--	0	0
	(20+21)-III-3	7455	0.05	--	--	--	0	0
	(20+21)-III-4	7455	0.05	--	--	--	0	0
	(20+21)-IV-1	7455	0.05	--	--	--	0	0

Elm.	Comb.	V	q_e	W_{Ed}	W_{Cons}	W_{Imm}	W_{Inco}	W
	(20+21)-IV-2	7455	0.05	--	--	--	0	0
	(20+21)-IV-3	7455	0.05	--	--	--	0	0
	(20+21)-IV-4	7455	0.05	--	--	--	0	0
	(20+21)-V-1	7455	0.05	--	--	--	0	0
	(20+21)-V-2	7455	0.05	--	--	--	0	0
	(20+21)-V-3	7455	0.05	--	--	--	0	0
	(20+21)-V-4	7455	0.05	--	--	--	0	0
	(20+21)-VI-1	7455	0.05	--	--	--	0	0
	(20+21)-VI-2	7455	0.05	--	--	--	0	0
	(20+21)-VI-3	7455	0.05	--	--	--	0	0
	(20+21)-VI-4	7455	0.05	--	--	--	0	0
	(20+21)-VII-1	7455	0.05	--	--	--	0	0
	(20+21)-VII-2	7455	0.05	--	--	--	0	0
	(20+21)-VII-3	7455	0.05	--	--	--	0	0
	(20+21)-VII-4	7455	0.05	--	--	--	0	0
	(20+21)-VIII-1	7455	0.05	--	--	--	0	0
	(20+21)-VIII-2	7455	0.05	--	--	--	0	0
	(20+21)-VIII-3	7455	0.05	--	--	--	0	0
	(20+21)-VIII-4	7455	0.05	--	--	--	0	0
Massimi cedimento								
1	12							14

Conclusioni

Viste le risultanze delle ipotesi di calcolo dei lavori di cui all'oggetto, il sottoscritto dichiara che le verifiche a carico limite e allo scorrimento sono rispettate secondo quanto prescritto nelle NTC, per quanto riguarda i cedimenti si ritiene che i valori di calcolo siano accettabili. Viste le ipotesi di calcolo ed i risultati ottenuti per le strutture di fondazione di cui all'oggetto, il sottoscritto dichiara che le fondazioni sono in grado di resistere alle combinazioni delle azioni di progetto secondo quanto prescritto nelle NTC/2018.

Il Progettista